

# **Linia rizarea armonica a sistemelor neliniare**

P. Dobra

# 1 Linia rizarea armonică a sistemelor neliniare

În acest capitol se prezintă câteva metode pentru analiza aproximativă a sistemelor neliniare care au o largă utilitate practică. Soluția analitică a ecuației diferențiale (neliniare) care descrie un sistem neliniar este imposibil (în cele mai multe cazuri) de determinat. Aceste metode de analiză aproximativă care au o largă utilitate practică se pot grupa în trei categorii:

1. *Metoda bazată pe funcția de descriere* constă în înlocuirea elementului neliniar dintr-un sistem cu o aproximație liniară care să poată fi utilizată în analiza și/sau sinteza sistemului în ansamblu (care se efectuează în domeniul frecvențial). Utilitatea acestei metode este în stabilirea existenței și stabilității ciclurilor limită și în evitarea fenomenelor de rezonanță.
2. *Metode numerice de modelare* a sistemelor neliniare care fac apel la metodele de integrare numerică a ecuațiilor diferențiale neliniare, dintre care metoda Runge-Kutta a fost prezentată în capitolul anterior.
3. *Metoda perturbației singulare* este în special utilizată în analiza sistemelor în care includerea sau excluderea unei componente particulare modifică structura (ordinul)

sistemului (De exemplu , într-un amplificator, luarea în considerare a capacității parazite, determină creșterea cu o unitate a ordinului modelului). Această metodă poate fi înlocuită printr-o *modelare nestructurată a incertitudinilor* (sisteme robuste), care va fi tratată pe larg într-un capitol următor.

Elementele neliniare care apar în cadrul sistemelor de reglare automată se pot împărți în două categorii:

1. *Elementele neliniare esențiale* care sunt introduse deliberat într-un sistem automat;
2. *Elementele neliniare neesențiale* care apar în mod accidental într-un sistem.

Un element neliniar esențial se introduce în mod deliberat în cadrul unui sistem, cu scopul de a realiza o comportare intrare-ieșire  $(u/y)$  dorită, de exemplu elementele de tip releu (bipozițional/tripozițional cu/fără histerezis). Caracteristica statică a elementelor de tip releu este prezentată în figura 1.a.

Elementele neliniare neesențiale au de obicei un caracter natural și este de dorit ca ele să nu apară în cadrul sistemelor de reglare automată. Linia rizarea acestor elemente, în general nu conduc la neconcordanțe prea mari între teorie și practică. Dintre neliniaritățile neesențiale pot fi amintite următoarele: saturația, zona de insensibilitate,

jocul în angrenaje (luft), frecarea uscată și histerezisul (mecanic, termic sau magnetic). Caracteristicile statice a acestor elemente sunt prezentate în figura 1.b÷g.

## 2 Metoda bazată pe funcția de descriere

Metoda bazată pe funcția de descriere este o metodă de liniarizare în domeniul frecvență a elementelor neliniare. Această metodă se aplică în special în cazul neliniarităților descrise prin funcții discontinue (figura 1), pentru care liniarizarea prin dezvoltare în serie Taylor este inoperantă.

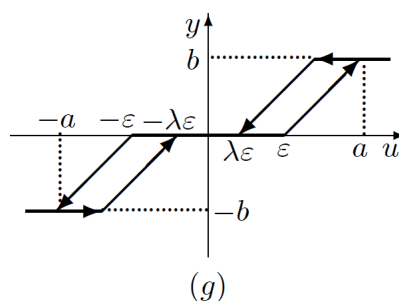
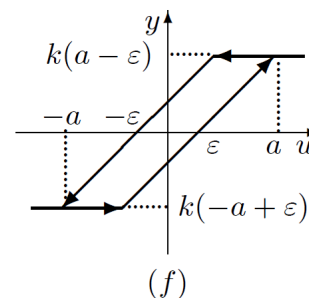
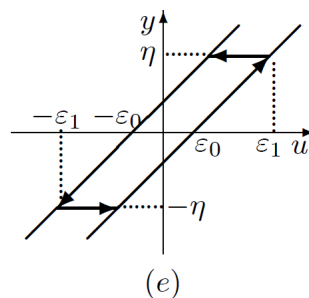
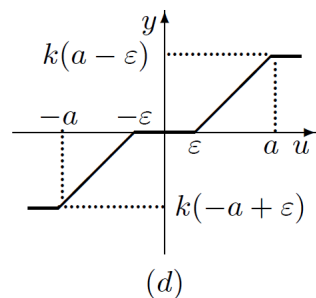
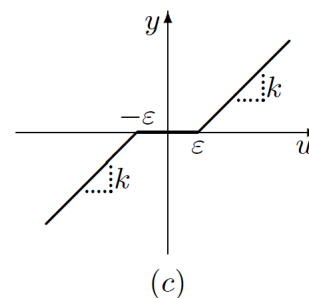
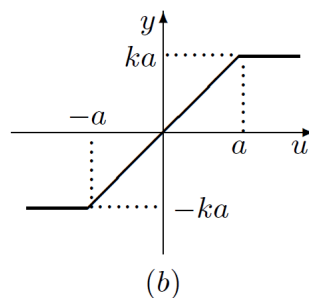
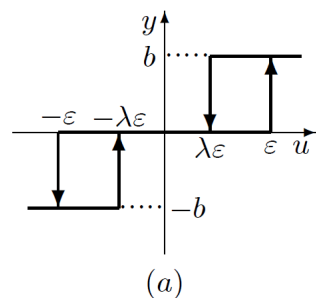
### 2.1 Definiția funcției de descriere

Elementele neliniare pentru care se definește funcția de descriere sunt cu o intrare și o ieșire și prezintă următoarele caracteristici:

1. Relația  $(u/y)$  are următoarea formă:

$$y(t) = f(u(t)), \quad (1)$$

unde  $f$  este o funcție continuă și monotonă pe porțiuni, univalentă sau polivalentă, având discontinuități de cel mult prima speță;



1. Caracteristicile statice ale elementelor neliniare de tip: (a) releu; (b) saturație; (c) zonă de insensibilitate; (d) zonă de insensibilitate și saturație; (e) joc mecanic (luft); (f) histerezis și saturație; (g) zonă de insensibilitate, histerezis și saturație

2. neliniaritatea (1) este simetrică față de originea planului  $(u, y)$ ;
3. Dacă intrarea  $u(t)$  este periodică în timp, atunci și ieșirea  $y(t)$  este periodică, de aceeași perioadă ca și intrarea;
4. În cadrul sistemului, elementul neliniar este urmat de un element liniar (*SISO*), care are caracteristica de modul (diagramele Bode) de tip filtru trece-jos, cu o pantă de cel puțin  $-40 \text{ dB/decadă}$  în zona pulsației de tăiere.

Ipotezele prezentate mai sus sunt satisfăcute în majoritatea aplicațiilor practice. În cazul în care aceste ipoteze nu sunt îndeplinite în totalitate, trebuie să fie luate în considerare și armonicile de ordin superior.

Se consideră un sistem continuu în timp care îndeplinește ipotezele 1 ÷ 4, și pentru care se consideră o intrare sinusoidală:

$$u(t) = A \sin(\Omega t), \quad A \geq 0, \quad \Omega \geq 0, \quad (2)$$

și  $t$  reprezintă variabila timp.

Pentru **semnalul de ieșire**  $y(t)$  care face parte din clasa semnalelor periodice ( $S_P[T]$ ),

**analiza Fourier** constă în reprezentarea lui  $y(t)$  prin:

$$y(t) = \frac{C_0}{2} + \sum_{k=1}^{\infty} (C_k \cos(k\Omega t) + S_k \sin(k\Omega t)), \quad (3)$$

respectiv o sumă ponderată de semnale periodice elementare, de perioadă  $T$ . În relația (3)  $\frac{C_0}{2}$  se numește componenta continuă sau valoarea medie,  $\Omega$  se numește frecvența fundamentală, iar frecvențele de forma  $k\Omega$ ,  $k \geq 2$ , se numesc frecvențe armonice. Întrucât frecvența unghiulară a unei componente este  $k\Omega$ ,  $k \geq 2$ , se spune că în (3) componentele constituie armonicile semnalului fundamental de frecvență  $\Omega$ . Reprezentarea (3) constituie *forma trigonometrică I a seriei Fourier*. Coeficienții Fourier se calculează prin relațiile:

$$C_k = \frac{2}{T} \int_0^T y(\tau) \cos(k\Omega\tau) d\tau, \quad k \in \mathbb{N},$$

$$S_k = \frac{2}{T} \int_0^T y(\tau) \sin(k\Omega\tau) d\tau, \quad k \in \mathbb{N}^*,$$

unde  $\{C_k\}$  reprezintă mulțimea coeficienților Fourier în fază, iar  $\{S_k\}$  în cuadratură.

În baza ipotezelor  $1 \div 3$  îndeplinite rezultă  $C_0 = 0$  și dacă ipoteza 4 este îndeplinită, atunci se poate considera că semnalul de ieșire este bine aproximat reținând numai fundamentală din seria Fourier (3), respectiv:

$$y(t) \simeq C_1 \cos(\Omega t) + S_1 \sin(\Omega t) = Y_1 \sin(\Omega t + \varphi_1),$$

unde:

$$Y_1 = \sqrt{C_1^2 + S_1^2}, \quad \varphi_1 = \arctan\left(\frac{C_1}{S_1}\right).$$

Efectele neliniarității asupra semnalului de intrare sinusoidal sunt:

1. Amplificarea semnalului de intrare cu:

$$\frac{Y_1}{A} = \frac{\sqrt{C_1^2 + S_1^2}}{A};$$

2. Defazarea semnalului de intrare cu:

$$\varphi_1 = \arctan\left(\frac{C_1}{S_1}\right).$$



Prin analogie cu răspunsul în frecvență al sistemelor continue se definește **funcția de descriere**:

$$N(A) = |N(A)| e^{j\varphi_1} = \frac{\sqrt{C_1^2 + S_1^2}}{A} e^{j \arctan\left(\frac{C_1}{S_1}\right)}. \quad (4)$$

O reprezentare echivalentă a funcției de descriere corespunzătoare neliniarității definite în relația (1), în care se pune în evidență partea reală, respectiv imaginară, este:

$$\begin{aligned} N(A) &= N_R(A) + N_I(A) = \frac{S_1 + jC_1}{A} = \\ &= \frac{2}{T} \int_0^T f(A \sin(\Omega t)) (\sin(\Omega t) + j \cos(\Omega t)) d(\Omega t) = \\ &= \frac{1}{\pi A} \int_0^{2\pi} f(A \sin(\vartheta)) (\sin(\vartheta) + j \cos(\vartheta)) d\vartheta. \end{aligned} \quad (5)$$

Funcția astfel definită se mai numește și *funcția de descriere la o singură intrare (sau intrare sinusoidală)*<sup>1</sup> (*SIDF*) și se referă la cazul particular în care intrarea are un

<sup>1</sup> Single-Input (or Sinusoidal Input) Describing Function (*SIDF*)

singur termen. În cazul în care semnalul de intrare are forma:

$$u(t) = A_0 + A_1 \sin(\Omega t),$$

vom avea *funcția de descriere la intrare duală*<sup>2</sup> (*DIDF*). În acest caz semnalul de ieșire se aproximează prin:

$$\begin{aligned} y(t) &\simeq \frac{C_0}{2} + C_1 \cos(\Omega t) + S_1 \sin(\Omega t) = \\ &= Y_0 + Y_1 \sin(\Omega t + \varphi_1), \end{aligned}$$

unde:

$$Y_0 = \frac{C_0}{2}, \quad Y_1 = \sqrt{C_1^2 + S_1^2}, \quad \varphi_1 = \arctan\left(\frac{C_1}{S_1}\right).$$

Funcția de descriere la intrare duală are două componente:

$$N_0(A) = \frac{Y_0}{A}, \quad N_1(A) = \frac{Y_1}{A} e^{j\varphi_1}, \quad (6)$$

care se calculează astfel:

<sup>2</sup> Dual-Input Describing Function (*DIDF*)

$$N_0(A_0, A_1) = \frac{1}{2\pi A_0} \int_0^{2\pi} f(A_0 + A_1 \sin(\vartheta)) d\vartheta, \quad (7)$$

$$N_1(A_0, A_1) = \frac{1}{\pi A_1} \int_0^{2\pi} f(A_0 + A_1 \sin(\vartheta)) (\sin(\vartheta) + j \cos(\vartheta)) d\vartheta. \quad (8)$$

Componenta  $N_0(A_0, A_1)$  este în totdeauna o funcție reală, pe când  $N_1(A_0, A_1)$  poate să fie reală sau complexă. Componenta  $N_1(A_0, A_1)$ , respectiv (*SIDF*) este reală numai în cazul în care neliniaritatea (1) este simplă (univalentă). În cazul în care neliniaritatea (1) este bivalentă și are următoarea descriere:

$$f(u) = \begin{cases} f_+(u), & \text{pentru } \dot{u}(t) > 0, \\ f_-(u), & \text{pentru } \dot{u}(t) < 0, \end{cases}$$

se obține:

$$\begin{aligned} \operatorname{Im} (N_1 (A_0, A_1)) &= \frac{1}{\pi A_1} \int_0^{2\pi} f (A_0 + A_1 \sin (\vartheta)) \cos (\vartheta) d\vartheta \Big|_{\nu=A_1 \sin(\vartheta)} = \\ &= \frac{1}{\pi A_1^2} \int_{-A_1}^{A_1} \{f_+ (A_0 + \nu) - f_- (A_0 + \nu)\} d\nu = \frac{\pm \mathcal{S}}{\pi A_1^2}. \end{aligned} \quad (9)$$

unde  $\mathcal{S}$  este aria cuprinsă între graficele funcțiilor  $f_+ (u)$  și  $f_- (u)$ , iar semnul plus, respectiv minus este în corespondență cu sensul de parcurgere al curbei orar, respectiv trigonometric.

În mod evident formularea prezentată poate fi generalizată, prin reținerea a mai mulți termeni din seria Fourier (3) și definind *funcția de descriere la mai multe intrări*<sup>3</sup> (*MIDF*). O variantă a *MIDF* este *funcția de descriere matricială*, obținută prin trunchierea unei matrici formate din vectori care conțin coeficienții Fourier ai semnalelor de intrare, respectiv de ieșire.

În practică se utilizează *funcția de descriere invers negativă*, care are următoarea ex-

<sup>3</sup> Multiple-Input Describing Function (*MIDF*)

primare:

$$N_i(A) = -\frac{1}{N(A)}, \quad A > 0,$$

al cărei hodograf se numește *locul de descriere invers negativ* al elementului neliniar definit în relația (1).

*Example 1 (RTH) Caracteristica statică a elementului de tip releu, prezentată în figura 1.a are următoarele particularizări:*

- (a) Releu bipozițional pentru  $\lambda = 1$  și  $\varepsilon = 0$ ;*
- (b) Releu bipozițional cu histerezis pentru  $\lambda = -1$  și  $\varepsilon > 0$ ;*
- (c) Releu tripozițional pentru  $\lambda = 1$  și  $\varepsilon > 0$ ;*
- (d) Releu tripozițional cu histerezis pentru  $|\lambda| < 1$  și  $\varepsilon > 0$ .*

*Se cere să se determine funcția de descriere la intrare sinusoidală și locul de descriere invers negativ al acestor neliniarități.*

Partea reală a funcției de descriere la intrare sinusoidală este:

$$\begin{aligned}
 N_R(A) &= \frac{2}{\pi A} \int_0^\pi y(t) \sin(\vartheta) d\vartheta = \frac{2}{\pi A} \int_{\vartheta_1}^{\vartheta_2} b \sin(\vartheta) d\vartheta \Bigg|_{\substack{\sin(\vartheta_1) = \frac{\varepsilon}{A} \\ \sin(\vartheta_2) = \lambda \frac{\varepsilon}{A}}} = \\
 &= \frac{2b}{\pi A} (\cos(\vartheta_1) - \cos(\vartheta_2)) \Bigg|_{\substack{\sin(\vartheta_1) = \frac{\varepsilon}{A} \\ \sin(\vartheta_2) = \lambda \frac{\varepsilon}{A}}} = \\
 &= \frac{2b}{\pi A} \left( \sqrt{1 - \left(\frac{\varepsilon}{A}\right)^2} + \sqrt{1 - \left(\lambda \frac{\varepsilon}{A}\right)^2} \right), \quad A \geq \varepsilon.
 \end{aligned}$$

Partea imaginară a funcției de descriere la intrare sinusoidală este dată în relația (9), respectiv:

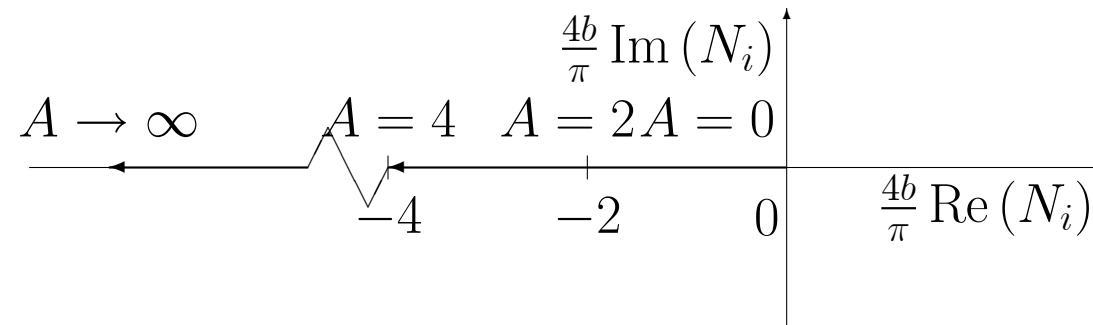
$$N_I(A) = - (1 - \lambda) \frac{2\varepsilon b}{\pi A^2}, \quad A \geq \varepsilon.$$

În cazul particularizărilor considerate rezultă funcția de descriere  $N(A)$ , respectiv funcția de descriere invers negativă  $N_i(A)$ :

### 1.(a) Releu bipozițional pentru $\lambda = 1$ și $\varepsilon = 0$ :

$$N(A) = \frac{4b}{\pi A}, \quad N_i(A) = -\frac{\pi A}{4b}, \quad A > 0;$$

Locul de descriere invers negativ este prezentat în figura 2.



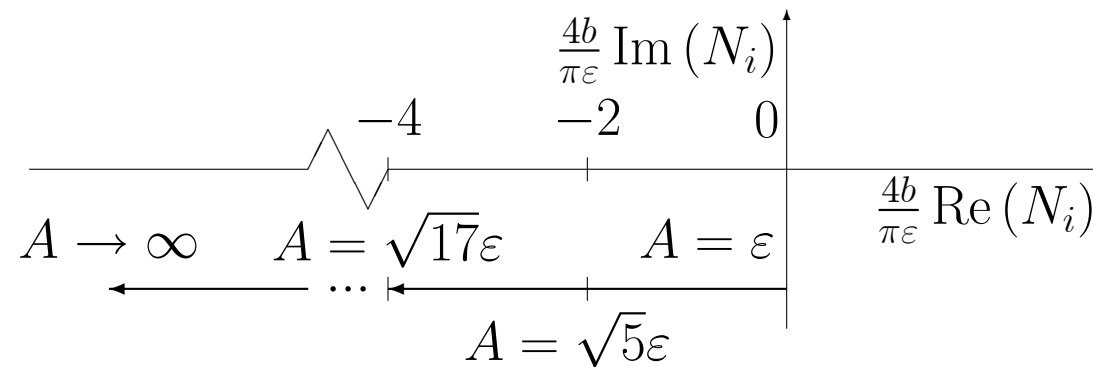
2. Locul de descriere invers negativ al releului bipozițional fără histerezis

(b) *Releu bipozițional cu histerezis pentru  $\lambda = -1$  și  $\varepsilon > 0$ :*

$$N(A) = \frac{4\varepsilon b}{\pi A^2} \left( \sqrt{\left(\frac{A}{\varepsilon}\right)^2 - 1} - j \right),$$

$$N_i(A) = -\frac{\pi\varepsilon}{4b} \left( \sqrt{\left(\frac{A}{\varepsilon}\right)^2 - 1} + j \right), \quad A \geq \varepsilon;$$

Locul de descriere invers negativ este prezentat în figura 3.



3. Locul de descriere invers negativ al releului bipozițional cu histerezis

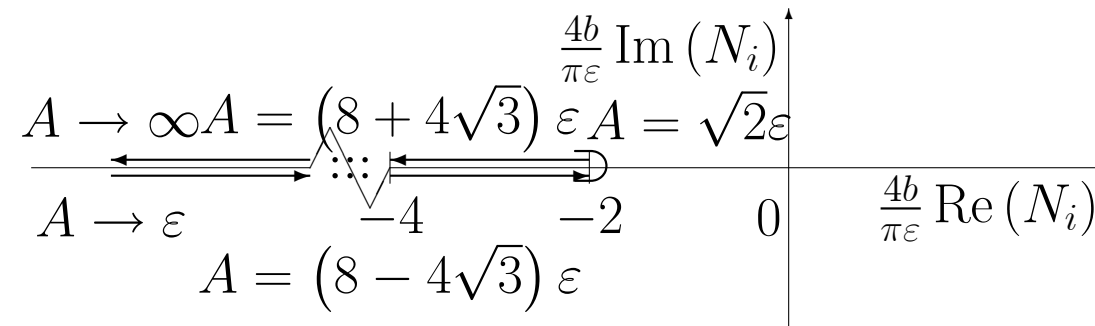


(c) *Releu tripозиțional pentru  $\lambda = 1$  și  $\varepsilon > 0$ :*

$$N(A) = \frac{4\varepsilon b}{\pi A^2} \sqrt{\left(\frac{A}{\varepsilon}\right)^2 - 1},$$

$$N_i(A) = -\frac{\pi A^2}{4\varepsilon b} \left(\left(\frac{A}{\varepsilon}\right)^2 - 1\right)^{-\frac{1}{2}}, \quad A > \varepsilon;$$

Locul de descriere invers negativ este prezentat în figura 4.



4. Locul de descriere invers negativ al releului tripозиțional fără histerezis

(d) *Releu tripozițional cu histerezis pentru  $|\lambda| < 1$  și  $\varepsilon > 0$ :*

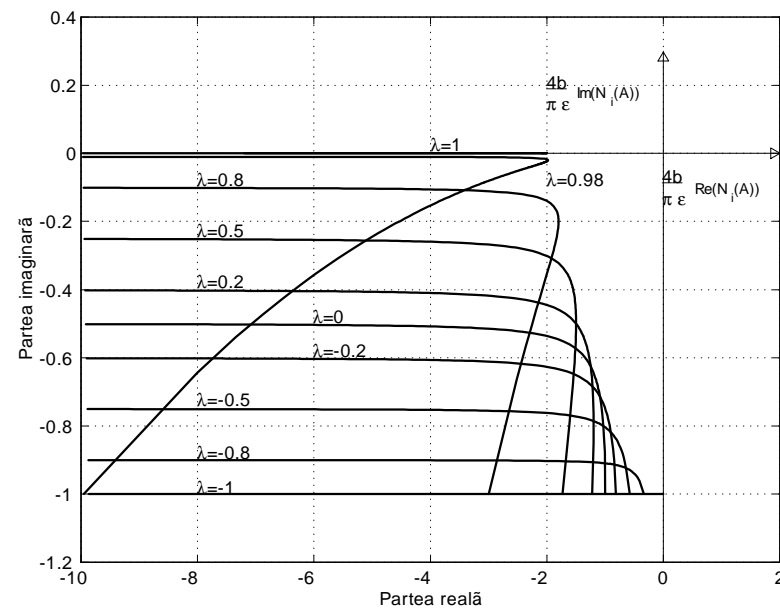
$$N(A) = \frac{2\varepsilon b}{\pi A^2} \left( \sqrt{\left(\frac{A}{\varepsilon}\right)^2 - 1} + \sqrt{\left(\frac{A}{\varepsilon}\right)^2 - \lambda^2} - j(1 - \lambda) \right),$$

$$N_i(A) = -\frac{\pi A^2}{4\varepsilon b} \frac{\sqrt{\left(\frac{A}{\varepsilon}\right)^2 - 1} + \sqrt{\left(\frac{A}{\varepsilon}\right)^2 - \lambda^2} + j(1 - \lambda)}{\left(\frac{A}{\varepsilon}\right)^2 - \lambda + \sqrt{\left(\left(\frac{A}{\varepsilon}\right)^2 - 1\right)\left(\left(\frac{A}{\varepsilon}\right)^2 - \lambda^2\right)}},$$

$$A \geq \varepsilon.$$

Locul de descriere invers negativ este prezentat în figura 5. ◁

*Remark 1 Se observă că în cazul neliniarităților de tip releu bipozițional (fără/cu histerezis) partea imaginară a locului de descriere invers negativ are o valoare unică (figurile 2 și 3) în raport cu amplitutinea semnalului sinusoidal de intrare, pe când în cazul neliniarităților de tip releu tripozițional (cu/fără histerezis) partea imaginară a locului de descriere invers negativ nu este unică (figurile 4 și 5 cu excepția cazului  $\lambda = -1$ ) în raport cu amplitutinea semnalului sinusoidal de intrare.*



## 5. Locul de transfer invers negativ pentru releul tripozițional cu histerezis

*Remark 2 În cazul neliniarităților univalente (de tip releu bi- tri- pozițional fără histerezis) partea imaginară a locului de descriere invers negativ este egală cu zero (figurile 2, 4 și în figura 5 pentru  $\lambda = 1$ ), pe când în cazul neliniarităților bivalente (de tip releu bi- tri- pozițional cu histerezis) partea imaginară a locului de descriere invers negativ este diferită de zero (figurile 3 și 5 pentru  $\lambda \neq 1$ ).*

*Example 2 (ElSat) Să se determine funcția de descriere la intrare sinusoidală a elementului neliniar de tip saturație, a cărei caracteristică statică este prezentată în figura 1.b, (se consideră  $k = 1$ ).*

Partea reală a funcției de descriere la intrare sinusoidală este:

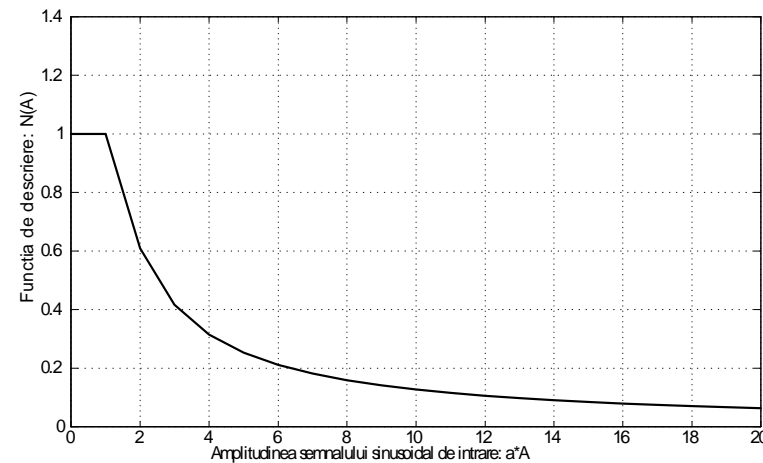
$$\begin{aligned}
 N_R(A) &= \frac{2}{\pi A} \int_0^\pi y(t) \sin(\vartheta) d\vartheta = \frac{4}{\pi A} \int_0^{\frac{\pi}{2}} y(t) \sin(\vartheta) d\vartheta = \\
 &= \frac{4}{\pi A} \int_0^{\vartheta_1} A \sin(\vartheta) \sin(\vartheta) d\vartheta \Big|_{\sin(\vartheta_1)=\frac{a}{A}} +
 \end{aligned}$$

$$\begin{aligned}
& + \frac{4}{\pi A} \int_{\vartheta_1}^{\frac{\pi}{2}} a \sin(\vartheta) d\vartheta \Big|_{\sin(\vartheta_1) = \frac{a}{A}} = \\
& = \frac{2}{\pi} \left( \vartheta - \frac{1}{2} \sin(2\vartheta) \right) \Big|_0^{\vartheta_1} + \frac{4a}{\pi A} (\cos(\vartheta)) \Big|_0^{\vartheta_1} = \\
& = \frac{2}{\pi} \left( \arcsin\left(\frac{a}{A}\right) - \frac{a}{A} \sqrt{1 - \left(\frac{a}{A}\right)^2} \right) + \frac{4a}{\pi A} \sqrt{1 - \left(\frac{a}{A}\right)^2} = \\
& = \frac{2}{\pi} \left( \arcsin\left(\frac{a}{A}\right) + \frac{a}{A} \sqrt{1 - \left(\frac{a}{A}\right)^2} \right), \quad A \geq a.
\end{aligned}$$

Partea imaginară a funcției de descriere la intrare sinusoidală este nulă, deoarece neliniaritatea este univalentă,  $N_I(A) = 0$ .

Funcția de descriere la intrare sinusoidală a elementului neliniar de tip saturație este:

$$N(A) = \frac{2}{\pi} \left( \arcsin\left(\frac{a}{A}\right) + \frac{a}{A} \sqrt{1 - \left(\frac{a}{A}\right)^2} \right), \quad A \geq a,$$



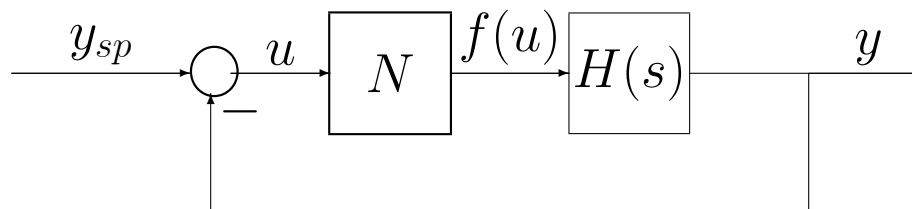
6. Funcția de descriere a elementului neliniar de tip saturație la intrare sinusoidală și are reprezentarea grafică în raport cu amplitudinea semnalului de intrare de tip sinus, în figura 6. ◁

Pentru celelalte neliniarități a căror caracteristici statice sunt prezentate în figurile 1.c÷g, se pot calcula în mod similar funcțiile de descriere, iar locurile de descriere invers negative au reprezentări și interpretări similare cazului prezentat în exemplul (*RTH*). Detalii suplimentare se găsesc în [?].

## 2.2 Oscilații în sisteme cu reacție negativă

Una dintre principalele aplicații ale funcției de descriere este determinarea existenței ciclurilor limită în cadrul sistemelor neliniare cu reacție negativă. Majoritatea aplicațiilor practice îndeplinesc *ipoteza separabilității*, respectiv în cadrul sistemului partea neliniară poate să fie separată (structural) de partea liniară.

Ținând seama de analogiile dintre răspunsul în frecvență (sisteme liniare) și de funcția de descriere (sisteme neliniare), sistemele automate neliniare pot fi tratate în aceeași manieră ca și sistemele automate liniare. Sistemul de reglare automată neliniar este descompus structural în două subsisteme, unul neliniar și celălalt liniar. Schema bloc structurală a unui asemenea sistem automat neliniar cu o intrare și o ieșire este prezentată în figura 7.



### 7. Structura unui sistem neliniar cu reacție negativă

Se presupune că partea liniară îndeplinește *ipoteza 4* de la definirea funcției de descriere și în plus mai satisface următoarele ipoteze:

1. Partea liniară este stabilă  $\operatorname{Re} \{\hat{s}_k\} \leq 0$  și are cel mult un pol în origine;
2. Modurile necontrolabile, respectiv neobservabile, sunt asimptotic stabile.

Dacă în sistemul neliniar cu reacție negativă (figura 7) există un ciclu limită, atunci semnalul  $u(t)$  poate fi aproximat printr-un semnal sinusoidal cu componentă continuă, respectiv:

$$u(t) \simeq U_0 + U_1 \sin(\omega t),$$

și în mod corespunzător:

$$f(u) \simeq N_0 U_0 + (\operatorname{Re}(N_1)) U_1 \sin(\omega t) + (\operatorname{Im}(N_1)) U_1 \cos(\omega t),$$

unde  $N_0$  și  $N_1$  sunt componentele funcției de descriere la intrări duale (*DIDF*). În domeniul complex, această ultimă relație se scrie astfel:

$$f(u) \simeq N_0 U_0 + (\operatorname{Im}(N_1 e^{j\omega t})) U_1.$$

Ieșirea sistemului în regim staționar este:

$$y \simeq H(0) N_0 U_0 + (\operatorname{Im}(H(j\omega) N_1 e^{j\omega t})) U_1,$$



și ținând seama de reacția negativă:

$$u = y_{sp} - y,$$

rezultă:

$$y_{sp} = (1 + H(0) N_0) U_0, \quad (10)$$

$$0 = 1 + \operatorname{Re}(H(j\omega) N_1), \quad (11)$$

$$0 = \operatorname{Im}(H(j\omega) N_1), \quad (12)$$

unde  $U_1 \neq 0$  (condiție necesară de existență a oscilațiilor). Prin scrierea componentelor funcției de descriere în raport cu  $U_0$  și  $U_1$ , relația (10) se rescrie astfel:

$$H(0) = \frac{1}{N_0(U_0, U_1)} \left( \frac{y_{sp}}{U_0} - 1 \right), \quad (13)$$

în care necunoscutele sunt numai  $U_0$  și  $U_1$ . Relațiile (11), (12) pot fi rescrise în domeniul complex printr-o singură relație:

$$H(j\omega) = \frac{-1}{N_1(U_0, U_1)}, \quad (14)$$

cunoscută sub denumirea de *ecuația balanței armonice*, și care pune în evidență o dependență între  $U_0$ ,  $U_1$  și  $\omega$ . În cazul în care neliniaritatea este univalentă, rezultă partea imaginară a componentei  $N_1$  din funcția de descriere egală cu zero, și în consecință:

$$\operatorname{Im} (H (j\omega)) = 0,$$

ceea ce permite determinarea pulsației independent de  $U_0$ ,  $U_1$ . Interpretarea geometrică a relației (14) este foarte simplă în planul complex, prin reprezentarea celor două hodografe asociate răspunsului în frecvență pentru partea liniară ( $H (s)$ ), respectiv a locului de descriere invers negativ  $\left( \frac{-1}{N_1(U_0, U_1)} \right)$ . Intersecțiile celor două locuri de transfer corespund soluțiilor ecuației balanței armonice (14).

Din ecuația (13) rezultă stabilirea unei relații între  $U_0$  și  $U_1$ , respectiv:

$$U_0 = F (U_1) ,$$

care prin înlocuire în componenta  $N_1$  a funcției de descriere la intrări duale, permite definirea următoarei funcții:

$$N (U_1) \triangleq N_1 (F (U_1) , U_1) .$$

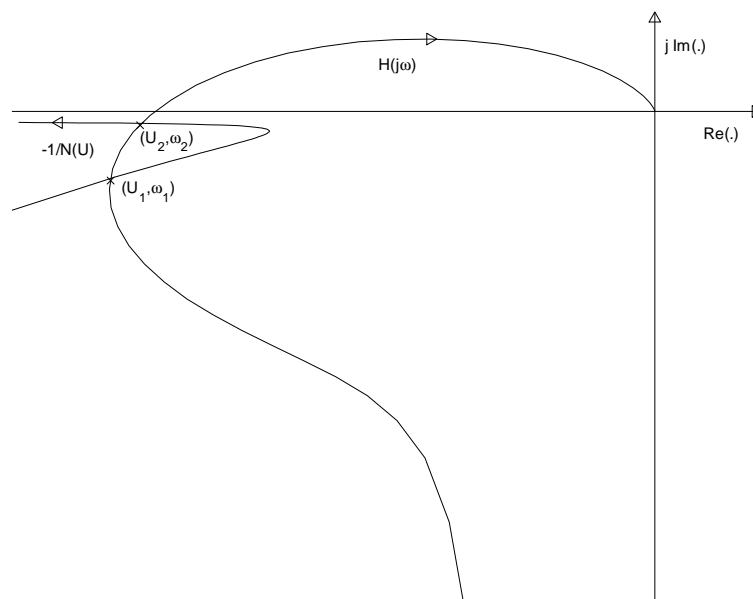
Ecuația balanței armonice (14) se rescrie astfel:

$$H(j\omega) = \frac{-1}{N(U_1)}, \quad (15)$$

unde  $N(U_1)$  coincide cu funcția de descriere la intrări sinusoidale, când neliniaritatea este simetrică față de origine și mărimea de referință este nulă ( $y_{sp} = 0$ ).

Interpretarea geometrică a relației (*EBA*) în cazul sistemului neliniar cu reacție negativă din figura 7 se face în planul complex, unde se trasează locul de transfer al subsistemului liniar ( $H(s)$ ) pentru  $\omega \geq 0$  și locul de descriere invers negativ al elementului neliniar  $\frac{-1}{N(U_1)}$  pentru  $U_1 \geq 0$ . Punctele de intersecție a celor două locuri corespund oscilațiilor întreținute ale sistemului neliniar cu reacție negativă. Această metodă este cunoscută sub denumirea de metoda celor două locuri și este ilustrată în figura 8.

Din figura 8 se constată că există două puncte de intersecție între cele două locuri de transfer și în consecință există două cicluri limită caracterizate de  $(U_1, \omega_1)$ , respectiv  $(U_2, \omega_2)$ .  $U_i, i \in \{1, 2\}$  reprezintă amplitudinile oscilațiilor, care se citesc de pe hodograful corepunzător locului de descriere invers negativ  $\frac{-1}{N(U_1)}$  și  $\omega_i, i \in \{1, 2\}$  reprezintă pulsațiile celor două oscilații, care se citesc de pe hodograful corepunzător funcției de transfer  $H(s)$ . În continuare se pune problema stabilității acestor cicluri limită.



## 8. Interpretarea geometrică a metodei celor două locuri

### 2.3 Stabilitatea ciclurilor limită

Caracterizarea ciclurilor limită din punct de vedere al stabilității necesită un studiu mai aprofundat care să permită stabilirea parametrilor oscilațiilor întreținute. O oscilație întreținută se caracterizează prin amplitudinea ei ( $U_{osc}$ ), respectiv perioada oscilației ( $T_{osc} = \frac{2\pi}{\omega_{osc}}$ ). O perturbare a acestei oscilații are ca efect variația amplitudinii cu  $\Delta U$ , respectiv a pulsației cu  $\Delta \omega$ .

În acest caz ecuația balanței armonice (15), se rescrie astfel:

$$H(j\omega_{osc} + \Delta s) = \frac{-1}{N(U_{osc} + \Delta U)}, \quad (16)$$

unde  $\Delta s = j\Delta\omega$  și  $\text{Re}\{\Delta s\}$  stabilește amortizarea (creșterea sau descreșterea). Pentru perturbații relativ mici ecuația balanței armonice (16), se poate rescrie astfel:

$$\left. \frac{\partial H(s)}{\partial s} \right|_{s=j\omega_{osc}} \Delta s = \left. \frac{\partial \left( \frac{-1}{N(U)} \right)}{\partial U} \right|_{U_{osc}} \Delta U. \quad (17)$$

Prima parte a ecuației (17) este:

$$\left. \frac{\partial H(s)}{\partial s} \right|_{s=j\omega_{osc}} \Delta s = \left. \frac{\partial H(s)}{\partial \omega} \frac{d\omega}{ds} \right|_{s=j\omega_{osc}} \Delta s = -j \left. \frac{\partial H(j\omega)}{\partial \omega} \right|_{\omega=\omega_{osc}} \Delta s, \quad (18)$$

și prin combinare cu relația (17) rezultă:

$$\frac{\Delta s}{\Delta U} = j \frac{\partial \left( \frac{-1}{N(U)} \right)}{\partial U} \bigg|_{U_{osc}} \left( \frac{\partial H(j\omega)}{\partial \omega} \bigg|_{\omega=\omega_{osc}} \right)^{-1}. \quad (19)$$

Pentru oscilații stabile (ciclu limită stabil) trebuie ca  $\text{Re} \{ \Delta s \}$  și  $\Delta U$  să fie de semn contrar, respectiv deviații pozitive sau negative ale amplitudinii determină oscilații amortizate în amplitudine.

Se definesc următoarele mărimi complexe:

$$\Phi = \frac{\partial H(j\omega)}{\partial \omega} \bigg|_{\omega=\omega_{osc}}, \quad (20)$$

care reprezintă direcția în lungul căreia crește cantitatea  $H(j\omega)$  pentru  $\omega$  crescător,

respectiv:

$$\Psi = \frac{\partial \left( \frac{-1}{N(U)} \right)}{\partial U} \bigg|_{U_{osc}}, \quad (21)$$

care reprezintă direcția în lungul căreia crește cantitatea  $\frac{-1}{N(U)}$  pentru  $U$  crescător. Cu aceste notații partea reală a relației (19) se scrie astfel:

$$\frac{\operatorname{Re} \{ \Delta s \}}{\Delta U} = - \operatorname{Im} \left\{ \frac{\Psi}{\Phi} \right\}, \quad (22)$$

și cu ajutorul căreia se poate stabili natura ciclului limită. Ciclul limită este stabil dacă:

$$\operatorname{Im} \left\{ \frac{\Psi}{\Phi} \right\} > 0, \quad (23)$$

sau echivalent:

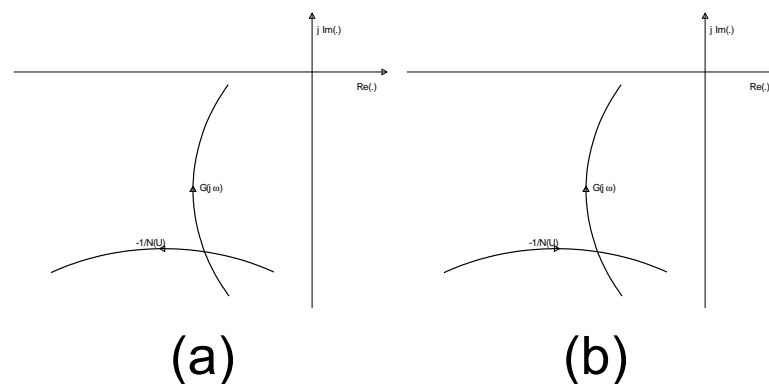
$$0 < \angle \Psi - \angle \Phi < \pi. \quad (24)$$

Această metodă de stabilire a naturii ciclurilor limită este cunoscută sub denumirea de

*metoda lui Loeb* și are o interpretare geometrică foarte sugestivă în planul complex, prin reprezentarea celor două locuri de transfer.

Ciclul limită caracterizat prin perechea ( $U_{osc} > 0, \omega_{osc} > 0$ ) este:

- *stabil*, dacă pornind din punctul de intersecție a celor două locuri pe hodograful asociat lui  $H(j\omega)$  pentru  $\omega$  crescător, hodograful asociat lui  $N_i(U) = \frac{-1}{N(U)}$  pentru  $U$  crescător rămâne la stânga, vezi figura 9.a;
- *instabil*, dacă pornind din punctul de intersecție a celor două locuri pe hodograful asociat lui  $H(j\omega)$  pentru  $\omega$  crescător, hodograful asociat lui  $N_i(U) = \frac{-1}{N(U)}$  pentru  $U$  crescător rămâne la dreapta, vezi figura 9.b;



9.Natura ciclurilor limită: (a) ciclu limită stabil; (b) ciclu limită instabil



*Example 3 (MCDL01) Se consideră structura sistemului neliniar cu reacție negativă prezentat în figura 7, cu neliniaritatea de tip releu bipozițional cu histerezis având  $\varepsilon = 1$ ,  $b = \frac{\pi}{4}$  și partea liniară caracterizată de funcția de transfer:*

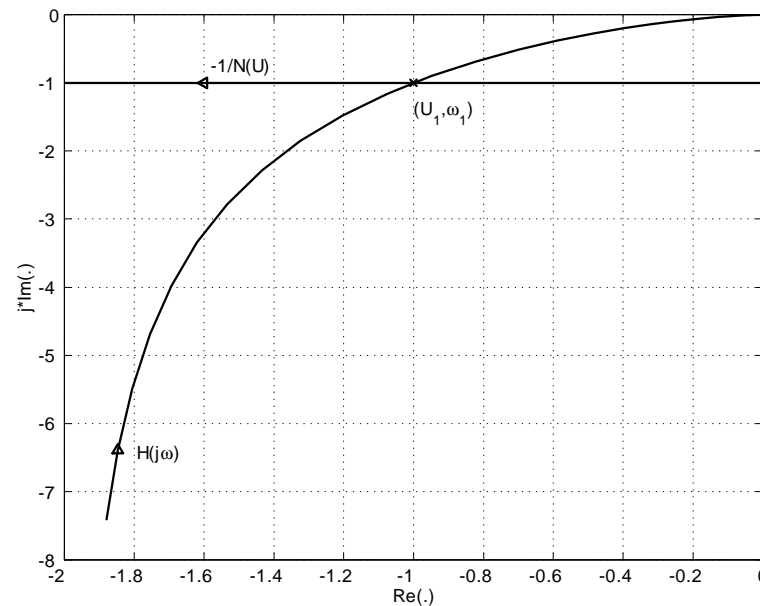
$$H(s) = \frac{2}{s(s+1)}.$$

*Se cere să se determine natura ciclului limită și parametrii acestuia.*

Locul de transfer al părții liniare este prezentat în diagrama Nyquist din figura 10. Funcția de descriere invers negativă a elementului neliniar de tip releu bipozițional cu histerezis a fost calculată în *exemplul (RTH.b)* și are următoarea expresie:

$$\begin{aligned} N_i(U) &= -\frac{1}{N(U)} = -\frac{\pi\varepsilon}{4b} \left( \sqrt{\left(\frac{U}{\varepsilon}\right)^2 - 1} + j \right) \Big|_{A \geq \varepsilon} = \\ &= -\left( \sqrt{U^2 - 1} + j \right) \Big|_{A \geq 1}. \end{aligned}$$

Locul de descriere invers negativ este prezentat în diagrama Nyquist din figura 10. Intersecția celor două locuri determină un *ciclu limită stabil (metoda Loeb)*, ai cărui



### 10.Reprezentarea celor două locuri în diagrama Nyquist (*Exemplul MCDL01*)

parametri rezultă din ecuația balanței armonice (15), care în acest caz are următoarea exprimare:

$$\begin{cases} \frac{2}{1+\omega^2} = \sqrt{U^2 - 1}, \\ \frac{2}{\omega(1+\omega^2)} = 1. \end{cases}$$

Soluția acceptată este:

$$(U_{osc}, \omega_{osc}) = (U_1, \omega_1) = (1, 1).$$

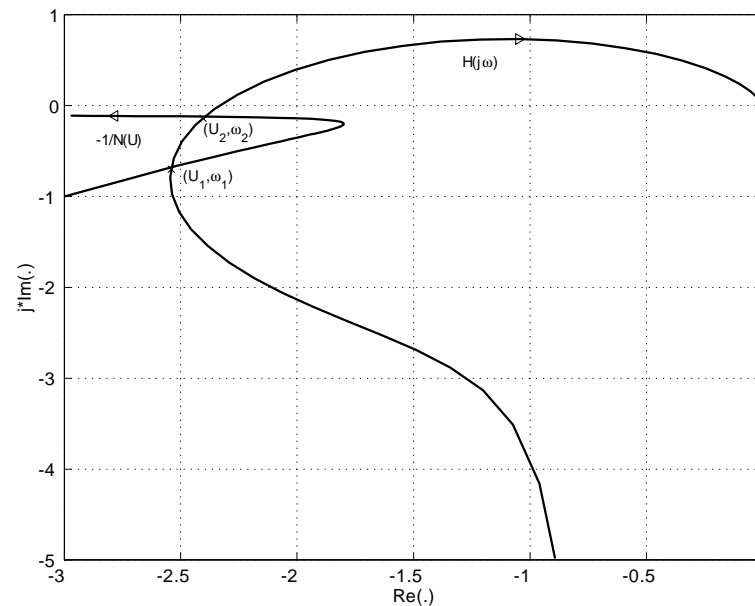
Cei doi parametri se pot citi direct din diagrama Nyquist astfel:  $\omega_1$  se citește de pe hodograful asociat lui  $H(j\omega)$ , respectiv  $U_1$  se citește de pe hodograful asociat locului de descriere invers negativ  $-\frac{1}{N(U)}$ .  $\triangleleft$

*Example 4 (MCDL02) Se consideră structura sistemului neliniar cu reacție negativă prezentat în figura 7, cu neliniaritatea de tip releu tripozițional cu histerezis având  $\varepsilon = 1$ ,  $b = \frac{\pi}{4}$ ,  $\lambda = 0.8$  și partea liniară caracterizată de funcția de transfer:*

$$H(s) = \frac{7}{s(s^2 + s + 3)}.$$

*Se cere să se determine natura ciclurilor limită și parametrii acestora.*

Locul de transfer al părții liniare este prezentat în diagrama Nyquist din figura 11. Funcția de descriere invers negativă a elementului neliniar de tip releu tripozițional cu



### 11.Reprezentarea celor două locuri în diagrama Nyquist (*Exemplul MCDL02*)

histerezis a fost calculată în *exemplul (RTH.d)* și are următoarea expresie:

$$\begin{aligned}
 N_i(U) &= -\frac{\pi U^2}{4\epsilon b} \frac{\sqrt{\left(\frac{U}{\epsilon}\right)^2 - 1} + \sqrt{\left(\frac{U}{\epsilon}\right)^2 - \lambda^2} + j(1 - \lambda)}{\left(\frac{U}{\epsilon}\right)^2 - \lambda + \sqrt{\left(\left(\frac{U}{\epsilon}\right)^2 - 1\right) \left(\left(\frac{U}{\epsilon}\right)^2 - \lambda^2\right)}} = \\
 &= -U^2 \frac{\sqrt{U^2 - 1} + \sqrt{U^2 - 0.64} + 0.2j}{U^2 - 0.8 + \sqrt{(U^2 - 1)(U^2 - 0.64)}} \Big|_{U \geq 1}.
 \end{aligned}$$

Locul de descriere invers negativ este prezentat în diagrama Nyquist din figura 11. Intersecția celor două locuri determină un *ciclu limită instabil* caracterizat prin:

$$(U_1, \omega_1) = (1.0088, 1.6034),$$

respectiv un *ciclu limită stabil* caracterizat prin:

$$(U_2, \omega_2) = (2.1856, 1.7071). \quad \triangleleft$$

### 2.3.1 Criteriul Bilharz

Ecuția balanței armonice (15) poate fi utilizată pentru studiul stabilității asimptotice pe baza localizării rădăcinilor ei în planul complex. În cazul general funcția de transfer a subsistemului liniar din figura 7 se poate exprima ca raport de două polinoame prime între ele, respectiv:

$$H(s) = \frac{\beta(s)}{\alpha(s)}. \quad (25)$$

Ecuția balanței armonice (15) în care se face substituția  $s = j\omega$ , are aceleași rădăcini

ca și polinomul:

$$\Delta(s, U) = \alpha(s) + N(U) \beta(s). \quad (26)$$

În lucrarea [?] se arată că sistemul neliniar cu reacție negativă (prezentat în figura (7)), este asimptotic stabil pentru orice punct de funcționare, dacă și numai dacă polinomul (26) este *hurwitzian*<sup>4</sup> pentru  $U > 0$ .

În cazul în care neliniaritatea este univalentă și simetrică față de origine ( $\text{Im}(N(U)) = 0$ ) verificarea stabilității asimptotice se poate face cu ajutorul criteriilor de la sisteme liniare (Hurwitz, Routh-Hurwitz etc.). În cazul neliniarităților multivalente ( $\text{Im}(N(U)) \neq 0$ ) polinomul (26) are coeficienți complecși și poate fi exprimat astfel:

$$\Delta(s) = s^n + (\delta_{R1} + j\delta_{I1}) s^{n-1} + (\delta_{R2} + j\delta_{I2}) s^{n-2} + \dots + (\delta_{Rn} + j\delta_{In}), \quad (27)$$

unde  $\delta_{Rk} \in \mathbb{R}$ ,  $\delta_{Ik} \in \mathbb{R}$ ,  $\forall k = \overline{1, n}$ . Cu ajutorul acestor coeficienți reali se formează

<sup>4</sup> Un polinom se numește *hurwitzian* dacă toate zerourile sale sunt situate în semiplanul complex stâng ( $\text{Re}(s) < 0$ )

*matricea Bilharz* de ordinul  $2n$  asociată polinomului  $\Delta(s)$ :

$$B_{2n} = \begin{pmatrix} 1 & \delta_{I1} & -\delta_{R2} & -\delta_{I3} & \delta_{R4} & \delta_{I5} & -\delta_{R6} & -\delta_{I7} & \cdots \\ 0 & \delta_{R1} & \delta_{I2} & -\delta_{R3} & -\delta_{I4} & \delta_{R5} & \delta_{I6} & -\delta_{R7} & \cdots \\ 0 & 1 & \delta_{I1} & -\delta_{R2} & -\delta_{I3} & \delta_{R4} & \delta_{I5} & -\delta_{R6} & \cdots \\ 0 & 0 & \delta_{R1} & \delta_{I2} & -\delta_{R3} & -\delta_{I4} & \delta_{R5} & \delta_{I6} & \cdots \\ 0 & 0 & 1 & \delta_{I1} & -\delta_{R2} & -\delta_{I3} & \delta_{R4} & \delta_{I5} & \cdots \\ 0 & 0 & 0 & \delta_{R1} & \delta_{I2} & -\delta_{R3} & -\delta_{I4} & \delta_{R5} & \cdots \\ \vdots & \vdots & \vdots & \vdots & \vdots & \vdots & \vdots & \vdots & \ddots \end{pmatrix}, \quad (28)$$

în care  $\delta_{Rk} = \delta_{Ik} = 0$  pentru  $k > n$ .

*Theorem 1 (Bilharz)* Polinomul (27) este hurwitzian dacă și numai dacă

$$\det(B_{2k}) > 0, \quad \forall k = \overline{1, n}.$$

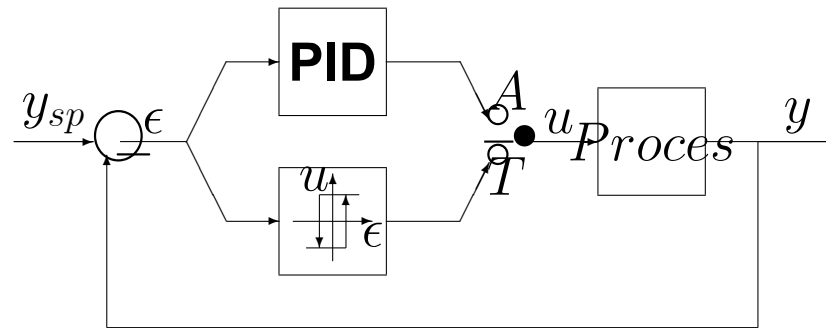
Această metodă se pretează la implementare pe calculator numeric.

### 3 Regulatorul PID autoacordabil

O aplicație practică a metodei bazate pe funcția de descriere este cea a regulatorului *PID* autoacordabil. Majoritatea sistemelor industriale se bazează pe regulatoare cu structură clasică de tip *PID*. Există suficient de multe metode pentru acordarea parametrilor acestor regulatoare clasice (metoda locului rădăcinilor, metoda Guillemin-Truxal, metode bazate pe răspunsul în frecvență, metoda Zigler-Nichols, etc.). Cea mai populară din punct de vedere practic este metoda Zigler-Nichols [?]. Această metodă de acordare a parametrilor unui regulator de tip *PID* se bazează pe observația că parametrii regulatorului se pot determina din cunoașterea unui singur punct de pe locul de transfer (din diagrama Nyquist) asociat sistemului deschis. Structura sistemului de reglare automată capabilă să estimeze parametrii acestui punct (numit *punct critic* și care corespunde intersecției dintre locul de transfer al sistemului liniar și locul de descriere invers negativ al sistemului neliniar) este prezentată în figura 12. Parametrii punctului critic sunt cei ce caracterizează ciclul limită care se obține, și sunt amplitudinea și perioada (frecvența) oscilațiilor.

Sistemul prezentat în figura 12 are două regimuri de funcționare în funcție de poziția comutatorului  $k$ , și anume:





## 12. Structura regulatorului PID autoacordabil prin metoda releului

( $A$ ) - Funcționarea sistemului în *regim automat*, respectiv sistem de reglare automată cu regulator de tip PID;

( $T$ ) - Funcționarea sistemului în *regim de acordare*<sup>5</sup>, respectiv sistemul funcționează în regim de estimare a parametrilor ciclului limită (amplitudinea și perioada (frecvența) oscilațiilor).

Structura regulatorului PID este:

$$u(t) = K_p \left( \varepsilon(t) + \frac{1}{T_i} \int_0^t \varepsilon(\tau) d\tau + T_d \frac{d\varepsilon(t)}{dt} \right), \quad (29)$$

unde  $u$  reprezintă variabila de comandă din sistem,  $\varepsilon(t) = y_{sp}(t) - y(t)$  reprezintă

<sup>5</sup> Tuning

## 1. Tabelul Zigler-Nichols cu parametrii de acord ai reguletoarelor de tip P, PI și PID

Regulator	$K_p$	$T_i$	$T_d$
P	$0.5k_c$	-	-
PI	$0.45k_c$	$0.8T_c$	-
PID	$0.6k_c$	$0.5T_c$	$0.12T_c$

eroarea din sistemul de reglare automată (diferența dintre mărimea de prescriere ( $y_{sp}$ ) și mărimea măsurată (ieșirea procesului  $y(t)$ )).

Metoda Zigler-Nichols originală se bazează pe structura cu reacție negativă a unui sistem de reglare automată liniar în care regulatorul este proporțional. Factorul de proporționalitate al regulatorului ( $K_p$ ) se mărește în mod gradat, până când se obține limita de stabilitate, respectiv în sistem apar oscilații cu amplitudinea și frecvența constante. În diagrama Nyquist această limită de stabilitate corespunde intersecției dintre locul de transfer al sistemului deschis (liniar) și axa reală negativă, mai exact această intersecție are loc în punctul critic, care este  $(-1, j0)$ . Corespunzător oscilațiilor întreținute se reține factorul de proporționalitate al regulatorului, care se notează cu  $k_c$  și perioada acestora  $T_c$ . Pe baza acestor doi parametri (corespunzători punctului critic) în tabelul 1 se dau parametrii de acord ai reguletoarelor de tip: proporțional ( $P$ ), proporțional-integral ( $PI$ ) și proporțional-integral-derivativ ( $PID$ ).

Evident că în cazul în care procesul este identificat (are funcția de transfer cunoscută)

această metodă practică are o transcriere analitică care se deduce relativ simplu.

### 3.1 Estimarea perioadei de oscilație

Se presupune că procesul care se dorește a fi reglat cu ajutorul unui regulator de tip *PID*, are următoarea realizare de stare:

$$\begin{aligned}\dot{x}(t) &= Ax(t) + Bu(t), \\ y(t) &= Cx(t).\end{aligned}\tag{30}$$

Releul bipozițional din structura de reglare prezentată în figura 12, se consideră de tip bipozițional fără histerezis, și în consecință are următoarea descriere:

$$u(t) = \begin{cases} +b, & \text{dacă } \varepsilon(t) > 0, \\ -b, & \text{dacă } \varepsilon(t) < 0, \end{cases}\tag{31}$$

unde  $\varepsilon(t) = y_{sp}(t) - y(t)$  reprezintă eroarea din sistem.

Sistemul prezentat în figura 12, cu comutatorul  $k$  pe poziția  $T$  ( $k \leftarrow T$ ) prezintă un ciclu limită simetric cu perioada de oscilație  $T_c$ , dacă diferența între două momente de timp

consecutive ale comutării releului este  $\frac{T_c}{2}$ , respectiv:

$$t_{k+1} - t_k = \frac{T_c}{2}. \quad (32)$$

Se presupune că semnalul de comandă pe intervalul  $[t_k, t_{k+1})$  este  $u(t) = +b$ . În acest caz răspunsul pe stare al sistemului liniar caracterizat prin relația (30) este:

$$x(t_{k+1}) = \Phi\left(\frac{T_c}{2}\right) x(t_k) + \Gamma b, \quad (33)$$

unde  $\Phi\left(\frac{T_c}{2}\right)$  este matricea de tranziție calculată la  $t = \frac{T_c}{2}$ , respectiv:

$$\Phi\left(\frac{T_c}{2}\right) = e^{A\frac{T_c}{2}}, \quad (34)$$

iar

$$\Gamma = \int_0^{\frac{T_c}{2}} e^{A\tau} B d\tau. \quad (35)$$

În ideea că ciclul limită este simetric, trebuie ca următoarea identitate să fie îndeplin-

ită:

$$x(t_{k+1}) = -x(t_k). \quad (36)$$

Revenind la relația (33) rezultă:

$$x(t_k) = - \left( I + \Phi \left( \frac{T_c}{2} \right) \right)^{-1} \Gamma b. \quad (37)$$

Presupunând că ieșirea sistemului  $y(t_k)$  este zero, rezultă următoarea relație:

$$y(t_k) = Cx(t_k) = -C \left( I + \Phi \left( \frac{T_c}{2} \right) \right)^{-1} \Gamma b = 0, \quad (38)$$

care implică:

$$C \left( I + \Phi \left( \frac{T_c}{2} \right) \right)^{-1} \Gamma = 0. \quad (39)$$

Ultima relație permite determinarea perioadei de oscilație, corespunzătoare ciclului limită.

*Remark 3 Ecuația (39) poate fi rescrisă astfel:*

$$H\left(\frac{T_c}{2}, -1\right) = 0, \quad (40)$$

*unde  $H\left(\frac{T_c}{2}, z\right)$  este funcția de transfer în  $\mathcal{Z}$  a sistemului eșantionat (corespunzător sistemului continuu liniar invariant în timp definit prin relația (30)) cu perioada de eșantionare  $\frac{T_c}{2}$ ;*

*Remark 4 Relația (39) are loc și în cazul sistemelor liniare cu timp mort, pentru care  $\frac{T_c}{2}$  este mai mare sau cel mult egală cu timpul mort;*

*Remark 5 În cazul în care releul este bipozițional cu histerezis, perioada de oscilație corespunzătoare ciclului limită se estimează printr-o relație similară, respectiv:*

$$H\left(\frac{T_c}{2}, -1\right) = -\frac{\varepsilon}{b}, \quad (41)$$

*unde  $\varepsilon$  reprezintă zona de histerezis a releului și  $b$  este ieșirea releului (vezi figura 1.a).*

### 3.1.1 Aproximarea perioadei de oscilație

Relațiile (39), respectiv (40) permit determinarea exactă a perioadei de oscilație. În cazul sistemelor de ordin ridicat acest calcul se complică. În continuare se investighează precizia obținută în cazul aproximării prin funcția de descriere. Se consideră cazul unui ciclu limită simetric și se notează cu  $h = \frac{T_c}{2}$ . Funcția de transfer în  $\mathcal{Z}$  a sistemului eșantionat (corespunzător sistemului continuu liniar invariant în timp definit prin relația (30)) cu perioada de eșantionare  $h$  este:

$$H(h, e^{sh}) \Big|_{z=e^{sh}} = \frac{1}{h} \sum_{k=-\infty}^{\infty} \frac{1}{s + jk\omega_s} \left(1 - e^{-(1-e^{-h(s+jk\omega_s)})}\right) H(s + jk\omega_s) \Big|_{z=e^{sh}}, \quad (42)$$

unde  $\omega_s = \frac{2\pi}{h}$  este pulsația de eșantionare și  $j = \sqrt{-1}$  este unitatea imaginară. Pentru  $sh = j\pi$  ( $z = -1$ ), relația (42) se rescrie astfel:

$$\begin{aligned} H(h, -1) &= \sum_{k=-\infty}^{\infty} \frac{2}{j(\pi + 2k\pi)} H\left(j \frac{\pi + 2k\pi}{h}\right) = \\ &= \sum_{k=0}^{\infty} \frac{4}{(1 + 2k)\pi} \operatorname{Im} \left( H\left(j \frac{\pi + 2k\pi}{h}\right) \right). \end{aligned} \quad (43)$$

Din seria infinită obținută se reține numai primul termen, respectiv:

$$H(h, -1) \simeq \frac{4}{\pi} \operatorname{Im} \left( H \left( j \frac{\pi}{h} \right) \right). \quad (44)$$

Această ultimă relație permite determinarea aproximativă a perioadei de oscilație  $T_c$  pe baza relației (40) în cazul releului bipozițional fără histerezis, respectiv pe baza relației (41) în cazul releului bipozițional cu histerezis. Rezultatul obținut prin acest calcul al perioadei de oscilație  $T_c$ , corespunde liniarizării elementului neliniar prin funcția de descriere. Pentru obținerea unei precizii cât mai ridicate trebuie ca funcția de transfer  $H(s)$  să aibă un caracter de filtru trece jos.

*Example 5 (LCP<sub>1</sub>) Se consideră structura unui sistem cu reacție negativă prezentată în figura 12, cu comutatorul  $k \leftarrow T$ . Funcția de transfer a procesului este:*

$$H(s) = \frac{a}{s(s+1)(s+a)}.$$

*Se cere să se calculeze perioada de oscilație corespunzătoare ciclului limită, în cazul unui releu bipozițional fără histerezis, prin cele două metode prezentate (exactă și aproximativă).*



Întrucât elementul neliniar este de tip releu bipozițional fără histerezis, rezultă că pulsația corespunzătoare oscilațiilor ciclului limită se poate obține din următoarea ecuație:

$$\arg(H(j\omega_c)) = -\pi,$$

respectiv:

$$\begin{aligned} -\frac{\pi}{2} - \arctan(\omega_c) - \arctan\left(\frac{\omega_c}{a}\right) &= -\pi \\ \arctan\left(\frac{\omega_c(a+1)}{a-\omega_c^2}\right) &= -\frac{\pi}{2}. \end{aligned}$$

Din ultima egalitate rezultă:

$$\omega_c = \sqrt{a}, \text{ respectiv } T_c = \frac{2\pi}{\sqrt{a}}. \quad (45)$$

Funcția de transfer în  $\mathcal{Z}$  a sistemului eșantionat cu perioada de eșantionare  $h$  se aprox-

imează pe baza relației (42), respectiv:

$$H(h, z) = \frac{h}{z-1} - \frac{a(1-e^{-h})}{(a-1)(z-e^{-h})} + \frac{1-e^{-ah}}{a(a-1)(z-e^{-ah})}.$$

Perioada corespunzătoare oscilațiilor ciclului limită se obține din următoarea ecuație:

$$H(h, -1)|_{h=\frac{T_c}{2}} = 0.$$

Se evaluează funcția de transfer în  $\mathcal{Z}$  pentru  $z = -1$ , respectiv:

$$\begin{aligned} H(h, -1) &= -\frac{h}{2} + \frac{a(1-e^{-h})}{(a-1)(1+e^{-h})} - \frac{1-e^{-ah}}{a(a-1)(1+e^{-ah})} = \\ &= -\frac{h}{2} + \frac{a}{a-1} \left( \frac{1-e^{-h}}{1+e^{-h}} - \frac{1}{a^2} \frac{1-e^{-ah}}{1+e^{-ah}} \right) \Big|_{a \gg 1} \simeq \\ &\simeq -\frac{h}{2} + \left( 1 + \frac{1}{a} \right) \frac{h}{2} \frac{1-h/2+h^2/6}{1-h/2+h^2/4} \simeq \\ &\simeq -\frac{h}{2} + \frac{h}{2} \left( 1 + \frac{1}{a} \right) \left( 1 - \frac{h^2}{12} \right). \end{aligned}$$

În consecință  $h \simeq 2\sqrt{\frac{3}{a}}$ , respectiv:

$$T_c = 4\sqrt{\frac{3}{a}},$$

care este comparabilă cu perioada de oscilație calculată în mod exact.  $\triangleleft$

*Example 6 (LCP<sub>2</sub>) Se consideră structura unui sistem cu reacție negativă prezentată în figura 12, cu comutatorul  $k \leftarrow T$ . Funcția de transfer a procesului este:*

$$H(s) = \frac{\beta}{s + a} e^{-s\tau}, \quad a, b, \tau > 0.$$

*Se cere să se calculeze perioada de oscilație, corespunzătoare ciclului limită, în cazul unui releu bipozițional cu histerezis, prin metoda bazată pe funcția de descriere.*

Se evaluează funcția de transfer în  $\mathcal{Z}$  pentru  $z = -1$ , respectiv:

$$H(h, -1) = \frac{\beta e^{-ah} (2e^{a\tau} - 1) - 1}{a (1 + e^{-ah})}.$$

În acest caz elementul neliniar este de tip releu bipozițional cu histerezis. Perioada de oscilație corespunzătoare ciclului limită se estimează prin relația (41), respectiv:

$$H\left(\frac{T_c}{2}, -1\right) = -\frac{\varepsilon}{b}, \quad (46)$$

unde  $\varepsilon$  reprezintă zona de histerezis a releului și  $b$  este ieșirea releului (vezi figura 1.a). În consecință:

$$T_c = 2h = -\frac{2}{a} \ln \left| \frac{\beta b - a\varepsilon}{\beta b (2e^{a\tau} - 1) + a\varepsilon} \right|.$$

Prin aplicarea metodei Loeb se constată că ciclul limită care se obține este stabil.  $\triangleleft$

## 3.2 Estimarea amplitudinii oscilațiilor

Amplitudinea oscilațiilor ciclului limită ( $A_c$ ) pentru sistemul cu reacție negativă prezentat în figura (12), cu comutatorul  $k \leftarrow T$ , se estimează din condiția de modul, respectiv:

$$|N_i(A)|_{A=A_c} = |H(j\omega)|_{\omega=\omega_c}. \quad (47)$$

În cazul elementului neliniar de tip releu (cu/fără histerezis), relația (47) se rescrie ast-

fel:

$$\frac{\pi A_c}{4b} = |H(j\omega_c)|,$$

de unde rezultă amplitudinea oscilațiilor care apar pe intrarea elementului neliniar:

$$A_c = \frac{4b}{\pi} |H(j\omega_c)|.$$

Pentru acordarea parametrilor reguletoarelor de tip  $PID$ , se definește **factorul de amplificare echivalent** ( $k_c$ ) al releului pentru transmiterea semnalului sinusoidal de intrare cu amplitudinea  $A_c$ , respectiv:

$$k_c = \frac{4b}{\pi A_c} = \frac{1}{|H(j\omega_c)|}.$$

### 3.3 Aspecte practice privind estimarea parametrilor ciclului limită

Structura regulatorului  $PID$  autoacordabil bazată pe metoda releului, prezentată în figura (12) este implementată de obicei pe un sistem numeric bazat pe microcontroler.

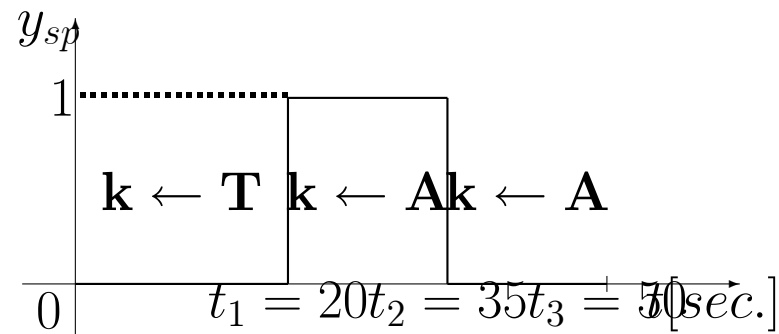
Perioada oscilațiilor poate fi ușor determinată prin măsurarea timpului între două treceri prin aceeași valoare și în același sens a semnalului de eroare din sistem ( $\varepsilon$ ). Amplitudinea oscilațiilor poate fi determinată prin măsurarea valorii vârf la vârf a aceluiași semnal de eroare (sau ieșire). Aceste metode de estimare sunt ușor de implementat deoarece se bazează numai pe operații de numărare și comparare. Această analiză, pe baza funcției de descriere, se bazează că prima armonică a oscilației (fundamentala) este dominantă față de armonicile superioare. Dacă această ipoteză nu este îndeplinită, atunci este necesară filtrarea semnalului măsurat.

Structurii de estimare mai elaborate se bazează pe estimatorul celor mai mici pătrate și filtrul Kalman extins pentru determinarea amplitudinii și perioadei (frecvenței) oscilației corespunzătoare ciclului limită. Rezultatele simulărilor și experiența în domeniul proceselor industriale au indicat că în practică sunt mai puțin indicate metode sofisticate pentru determinarea amplitudinii și perioadei oscilației corespunzătoare ciclului limită.

*Example 7 Se consideră structura unui sistem cu reacție negativă prezentată în figura (12). Funcția de transfer a procesului este:*

$$H(s) = \frac{1}{s + 0.2} e^{-s}.$$

Se cere să se determine parametrii de acord ai unui regulator  $PID$ , în cazul unui releu bipozițional cu histerezis ( $\varepsilon = 0.05$ ,  $b = 0.5$ ). Semnalul de referință ( $y_{sp}$ ) și regimurile de funcționare ale structurii prezentate în figura (12) sunt indicate în figura (13).



13. Mărimea de referință și regimurile de funcționare ale regulatorului  $PID$  autoacordabil prin metoda releului

Din funcționarea sistemului în regim de acordare ( $k \leftarrow T$ ) se citește din figura 14 amplitudinea și perioada oscilațiilor corespunzătoare ciclului limită (în regim staționar):

$$A_c \simeq 0.5, \quad T_c \simeq 4.0057.$$

Cu ajutorul amplitudinii oscilațiilor ( $A_c$ ) se calculează:

$$k_c = \frac{4b}{\pi A_c} \simeq 1.2732.$$

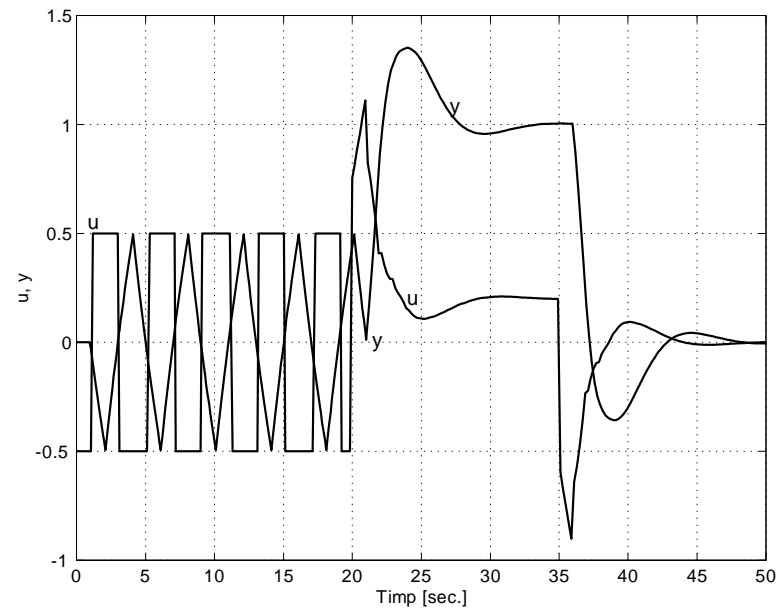
Pe baza tabelului 1 se calculează parametrii de acord ai regulatorului  $PID$ :

$$\begin{aligned} K_p &= 0.6k_c = 0.7639, \\ T_i &= 0.5T_c = 2.0028, \\ T_d &= 0.12T_c = 0.4807. \end{aligned}$$

Implementarea regulatorului pe baza relației (29) este neutilizabilă practic, deoarece comanda ( $u$ ) are valori foarte mari (de ordinul  $10^{12}$ ). Structura utilizabilă practic a regulatorului  $PID$  este aceea care prezintă o comportare  $PI$  în raport cu mărimea de referință  $y_{sp}$  și o comportare  $PID$  în raport cu mărimea măsurată  $y$ . Rezultatele simulării se prezintă în figura (14), unde se arată evoluția în timp a mărimii de ieșire (măsurate)  $y$  și a mărimii de comandă din sistemul cu reacție negativă  $u$ , în cele două regimuri de funcționare (acordare ( $k \leftarrow T$ ) și automat cu regulator  $PID$  ( $k \leftarrow A$ )).  $\triangleleft$

*Remark 6 Perioada de oscilație estimată prin aproximarea bazată pe funcția de des-*





14. Rezultatele simulării în cazul regulatorului  $PID$  autoacordabil pe baza metodei releului și utilizării metodei practice Zigler-Nichols pentru calculul parametrilor

*criere este:*

$$T_c = -\frac{2}{a} \ln \left| \frac{\beta b - a\varepsilon}{\beta b (2e^{a\tau} - 1) + a\varepsilon} \right| \Bigg|_{\substack{\beta=1, a=0.2, \tau=1 \\ \varepsilon=0.05, b=0.5}} \simeq 4.0056.$$

*În acest exemplu se constată că aproximarea bazată pe funcția de descriere este foarte bună.*

*Remark 7 Åström și Wittenmark recomandă metoda practică a lui Zigler-Nichols pentru acordarea parametrilor reguletoarelor de tip PID (tabelul 1) dacă este îndeplinită următoarea condiție:*

$$2 < k k_c < 20, \quad (48)$$

*unde  $k$  este factorul de proporționalitate al procesului în regim staționar și  $k_c$  este factorul de amplificare echivalent al elementului neliniar (releu bipozițional).*

### 3.3.1 Acordarea parametrilor regulatorului PID prin specificarea marginii de

## câștig și a marginii de fază

(Subsubsection head:) Acordarea parametrilor regulatorului **PID** prin specificarea marginii de câștig

În cazul în care *punctul critic* (intersecția dintre locul de transfer al sistemului liniar și locul de descriere invers negativ al elementului liniar) din diagrama Nyquist este cunoscut, se pot calcula relativ ușor parametrii unui regulator de tip *PID* (relația (29)), care să asigure o margine de câștig ( $m_k$ ) impusă sistemului deschis. Presupunem că regulatorul este de tip *P*, având constanta de proporționalitate  $K_p$ . Pentru ca sistemul în buclă deschisă să prezinte o margine de câștig impusă  $m_k$  trebuie ca:

$$K_p = \frac{m_k}{k_c},$$

unde  $k_c$  este amplificarea corespunzătoare punctului critic a sistemului în buclă deschisă.

În cazul regulatorului de tip *PID* problema determinării constantelor de integrare  $T_i$  și derivare  $T_d$  nu este determinată. În cele mai multe situații trebuie impusă constanta de integrare  $T_i$  a regulatorului pe alte considerente, ca de exemplu compensarea constantei de timp dominante din proces. Răspunsul în frecvență a regulatorului *PID*, definit

În relația (29) este:

$$\begin{aligned} H_{PID}(j\omega) &= K_p \left( 1 + \frac{1}{j\omega T_i} + j\omega T_d \right) = \\ &= K_p \left( 1 + \frac{1}{j\omega T_i} (1 - \omega^2 T_i T_d) \right). \end{aligned}$$

Pentru ca sistemul în buclă deschisă cu regulator de tip  $PID$  să asigure o margine de câștig impusă  $m_k$  trebuie ca:

$$T_d = \frac{1}{\omega_c^2 T_i},$$

unde  $\omega_c$  este pulsația oscilațiilor corespunzătoare punctului critic.

*Example 8 Funcția de transfer a procesului se consideră aceeași ca și în exemplul precedent. Se cere să se determine parametrii de acord ai unui regulator  $PID$ , care să compenseze constanta de timp dominantă din proces și să asigure o margine de câștig impusă  $m_k = 0.75$  ( $m_k^{dB} = -37482$ ). În regim de acordare sistemul utilizează un releu bipozițional fără histerezis ( $b = 0.5$ ). Semnalul de referință ( $y_{sp}$ ) și regimurile de funcționarea ale structurii prezentate în figura (12) sunt indicate în figura (13).*

Din funcționarea sistemului în regim de acordare ( $k \leftarrow T$ ) se citește din figura 15 amplitudinea și perioada oscilațiilor corespunzătoare ciclului limită (în regim staționar):

$$A_c \simeq 0.4533, \quad T_c \simeq 3.6667.$$

Cu ajutorul amplitudinii oscilațiilor ( $A_c$ ) se calculează:

$$k_c = \frac{4b}{\pi A_c} \simeq 1.4045.$$

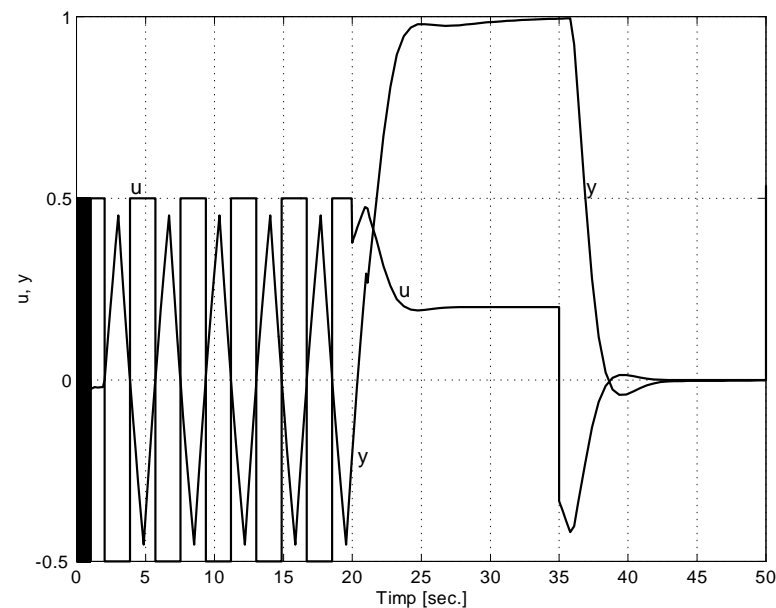
Se impune constanta de integrare egală cu constanta de timp dominantă a procesului, respectiv  $T_i = 5$  [sec.]. Constanta de proporționalitate a regulatorului  $PID$  este:

$$K_p = \frac{m_k}{k_c} = 0.5340,$$

iar constanta de derivare este:

$$T_d = \frac{1}{\omega_c^2 T_i} = \frac{T_c^2}{4\pi^2 T_i} = 0.0681.$$

Structura utilizată a regulatorului  $PID$  este aceea care prezintă o comportare  $PI$  în



15. Rezultatele simulării în cazul regulatorului  $PID$  autoacordabil pe baza metodei releului și utilizării metodei marginii de câștig pentru calculul parametrilor regulatorului

raport cu mărimea de referință  $y_{sp}$  și o comportare  $PID$  în raport cu mărimea măsurată  $y$ . Rezultatele simulării se prezintă în figura (15), unde se arată evoluția în timp a mărimei de ieșire (măsurată)  $y$  și a mărimei de comandă din sistemul cu reacție negativă  $u$ , în cele două regimuri de funcționare (acordare ( $k \leftarrow T$ ) și automat cu regulator  $PID$  ( $k \leftarrow A$ )). ◁

(Subsubsection head:) Acordarea parametrilor regulatorului **PID** prin specificarea

**marginii de fază**

Funcția de transfer a procesului se consideră  $H(s)$ , iar funcția de transfer a sistemului în buclă deschisă este  $H_{PID}(s)H(s)$ , unde:

$$H_{PID}(s) = K_p \left( 1 + \frac{1}{T_i s} + T_d s \right).$$

Se presupune că punctul de intersecție al hodografului funcției de transfer cu axa reală negativă din diagrama Nyquist este cunoscut și acestui punct îi corespunde pulsația  $\omega_c$ . Pentru ca sistemul în buclă deschisă să aibă marginea de fază  $\gamma_k$  la pulsația  $\omega_c$ , trebuie ca regulatorul să introducă o fază de  $+\gamma_k$  la pulsația  $\omega_c$ , respectiv să fie îndeplinită relația:

$$\omega_c T_d - \frac{1}{\omega_c T_i} = \tan(\gamma_k).$$

Și în acest caz trebuie determinată o relație suplimentară între constanta de integrare  $T_i$  și constanta de derivare  $T_d$  pentru ca problema să fie determinată. Se consideră că între cele două constate există o relație de proporționalitate, respectiv:

$$T_i = \alpha T_d. \quad (49)$$

În aceste condiții rezultă:

$$T_d = \frac{\tan(\gamma_k) + \sqrt{\frac{4}{\alpha} + \tan^2(\gamma_k)}}{2\omega_c}. \quad (50)$$

Pentru ca sistemul deschis să prezinte o margine de fază  $\gamma_k$  la pulsația  $\omega_c$  este necesar ca factorul de proporționalitate al regulatorului să fie calculat după relația:

$$K_p = \frac{\cos(\gamma_k)}{|H(j\omega_c)|} = k_c \cos(\gamma_k), \quad (51)$$

unde  $k_c$  este amplificarea corespunzătoare punctului critic al sistemului în buclă deschisă.

Aceste relații se pot aplica și în cazul regulatorului autoacordabil prin metoda releului prezentat în figura (12). Procedura de proiectare constă în estimarea parametrilor ciclului limită  $(k_c, \omega_c)$  care se obține prin funcționarea sistemului în regim de acordare ( $k \leftarrow T$ ). După estimarea acestor parametri se calculează parametrii regulatorului  $PID$ , după relațiile prezentate mai sus.

*Example 9 ( $PID_{\gamma_k}$ )* Se consideră structura unui sistem cu reacție negativă prezentată



în figura (12). Funcția de transfer a procesului este:

$$H(s) = \frac{1}{s(s+1)^2}.$$

Se cere să se determine parametrii de acord ai unui regulator  $PID$ , astfel încât marginea de fază a sistemului deschis să fie  $\gamma_k = \frac{\pi}{4}$  în cazul utilizării unui releu bipozițional cu histerezis ( $\varepsilon = 0.05$ ,  $b = 0.25$ ). Semnalul de referință ( $y_{sp}$ ) și regimurile de funcționare ale structurii prezentate în figura (12) sunt indicate în figura (13), cu următoarele modificări:  $t_1 = 40$  [sec.],  $t_2 = 70$  [sec.],  $t_3 = 100$  [sec.].

Din funcționarea sistemului în regim de acordare ( $k \leftarrow T$ ) se citește din figura 16 amplitudinea și perioada oscilațiilor corespunzătoare ciclului limită (în regim staționar):

$$A_c \simeq 0.2436, \quad T_c \simeq 7.9187.$$

Cu ajutorul amplitudinii oscilațiilor ( $A_c$ ) se calculează:

$$k_c = \frac{4b}{\pi A_c} \simeq 1.3065.$$

Pe baza relațiilor  $(K_p)$ ,  $(T_d)$  și  $(T_i)$  cu  $\alpha = 6$  se calculează parametrii de acord ai regulatorului  $PID$ :

$$K_p = 0.9238,$$

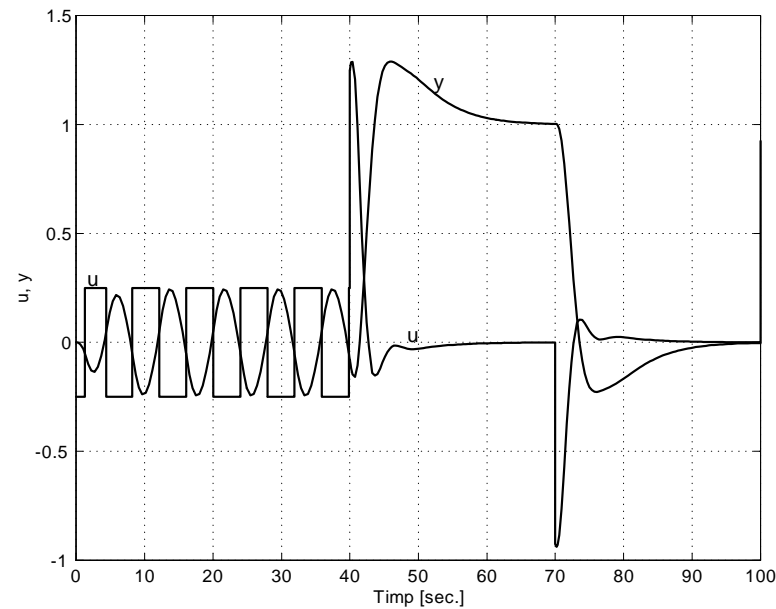
$$T_i = 7.9334,$$

$$T_d = 1.3222.$$

Structura utilizabilă practic a regulatorului  $PID$  este aceea care prezintă o comportare  $PI$  în raport cu mărimea de referință  $y_{sp}$  și o comportare  $PID$  în raport cu mărimea măsurată  $y$ . Rezultatele simulării se prezintă în figura (16), unde se arată evoluția în timp a mărimii de ieșire (măsurate)  $y$  și a mărimii de comandă din sistemul cu reacție negativă  $u$ , în cele două regimuri de funcționare (acordare ( $k \leftarrow T$ ) și automat cu regulator  $PID$  ( $k \leftarrow A$ )).  $\triangleleft$

### 3.4 Regulatorul $PID$ cu antisaturație

Regulatorul  $PID$  este și la ora actuală cel mai utilizat algoritm în practică atât în echipamentele analogice cât și în cele numerice, care tot mai mult tind să înlocuiască pe cele analogice. Regulatorul  $PID$  sau rețelele de reglatoare  $PID$  pot rezolva un număr mare de probleme de reglare care apar în industrie. Structura regulatorului  $PID$  este



16. Rezultatele simulării în cazul regulatorului  $PID$  autoacordabil pe baza metodei releului și utilizării metodei marginii de fază pentru calculul parametrilor regulatorului

cea prezentată în relația (29), cu semnificația mărimilor de intrare (eroare)  $\varepsilon$ , respectiv de ieșire (comandă)  $u$  prezentată la începutul acestei secțiuni și care se vede foarte clar din figura (12). Parametrii regulatorului  $PID$  sunt: factorul de proporționalitate (amplificare)  $K_p$ , constanta de integrare ( $T_i$ ) și constanta de derivare ( $T_d$ ). Acțiunea simultană a celor trei efecte (proporțional  $P$ , integral  $I$  și derivativ  $D$ ) este ponderată prin cei trei parametri ai regulatorului  $PID$  ( $K_p$ ,  $T_i$ ,  $T_d$ ).

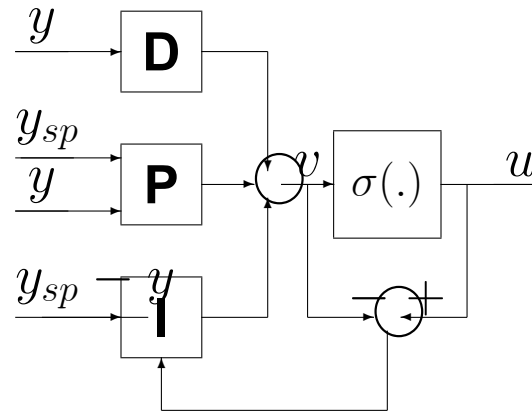
Acțiunea integrală a regulatorului are rolul de creștere a amplificării acestuia în domeniul frecvențelor joase și implicit scăderea erorilor (poziție, viteză, accelerație) în regim staționar. Acțiunea derivativă introduce o fază pozitivă în sistem și în consecință mărește gradul de stabilitate și banda de trecere pentru sistemul cu reacție negativă. Acțiunea derivativă (și proporțională) asupra unor semnale particulare (traptă, impuls, semnal dreptunghiular, etc.) care pot să apară în sistem face regulatorul  $PID$  cu structura prezentată în relația (29) neutilizabil practic, datorită semnalelor de comandă foarte mari care implicit provoacă apariția fenomenelor de saturație în sistemul de reglare. Deci chiar în cazul unui sistem liniar, apariția acestor fenomene de saturație impune o analiză mai atentă a sistemului prin apelarea la unele din metodele specifice sistemelor neliniare. O analiză a elementului neliniar de tip saturație pe baza funcției de descriere a fost făcută la începutul acestui capitol (Exemplul ( $ElSat$ )). În cadrul acestei secțiuni

se prezintă o implementare numerică a regulatorului  $PID$ , care să evite pe cât posibil apariția acestui fenomen nedorit în sistem și dacă apariția saturației nu poate fi evitată atunci să se acționeze intern (la nivel de regulator) asura eliminării cât mai rapid posibil a efectului nedorit. În literatura de specialitate se întâlnește structura regulatorului  $PID$  cu comportare diferită în raport cu mărimea de prescriere  $y_{sp}$  (de obicei  $PI$ ) și în raport cu mărimea măsurată  $y$  (de obicei  $PID$ ). Evident că această structură de regulator  $PID$  poate fi încadrată în structura generală a reguletoarelor de tip  $RST$ . Structura de implementare numerică a regulatorului  $PID$  cu *antisaturație* se prezintă în figura 17, unde după cum se observă cele trei acțiuni ( $P$ ,  $I$ ,  $D$ ) sunt tratate în mod separat. *Fenomenul de saturație se evită* prin eliminarea completă a acțiunii derivate asupra mărării de referință și ponderării acțiunii proporționale asupra mărării de referință, respectiv mărării măsurate. *Eliminarea fenomenului de saturație* (în cazul în care acesta apare) se face printr-o acțiune internă a regulatorului asupra efectului integral din regulator.

### 3.4.1 Discretizarea și modificarea acțiunilor $P$ , $I$ și $D$

(Subsubsection head:) Acțiunea proporțională:  $P$

Acțiunea proporțională din regulatorul  $PID$  (cu acțiune continuă în timp) prezentat în



### 17. Structura regulatorului PID cu antisaturație

relația (29) este:

$$P(t) = K_p \varepsilon(t) = K_p (y_{sp}(t) - y(t)). \quad (52)$$

Implementarea numerică și ponderarea acestei acțiuni în raport cu mărimea de prescriere  $y_{sp}$  și mărimea măsurată  $y$  se face după următoarea relație:

$$P(t_k) = K_p (\beta_p y_{sp}(t_k) - y(t_k)), \quad (53)$$

unde  $t_k$  reprezintă momentul de eșantionare curent, iar parametrul de ponderare  $\beta_p$  admite o ajustare independentă de mărimea de referință și răspunsul la perturbații. În majoritatea situațiilor alegerea acestui parametru este legată de introducerea unui zero

în sistem.

(Subsubsection head:) Acțiunea integrală: **I**

Acțiunea integrală din regulatorul *PID* continuu (relația (29)) este:

$$I(t) = \frac{K_p}{T_i} \int_0^t \varepsilon(\tau) d\tau = \frac{K_p}{T_i} \int_0^t (y_{sp}(\tau) - y(\tau)) d\tau. \quad (54)$$

La aceste acțiuni se mai adaugă un termen cu scopul de eliminare a fenomenului de saturație care poate să apară în sistemul de reglare automată. Acest termen suplimentar acționează numai în momentul în care a apărut fenomenul de saturație a comenzii și cu ajutorul său se încearcă o readucere în domeniul liniar a comenzii. Acțiunea integrală modificată prezentată în figura (17) are următoarea exprimare:

$$\begin{aligned} I(t) &= \frac{K_p}{T_i} \int_0^t \varepsilon(\tau) d\tau + \frac{1}{T_t} \int_0^t \varepsilon_s(\tau) d\tau = \\ &= \frac{K_p}{T_i} \int_0^t (y_{sp}(\tau) - y(\tau)) d\tau + \frac{1}{T_t} \int_0^t (u(\tau) - v(\tau)) d\tau, \end{aligned} \quad (55)$$

unde  $T_t$  se numește constanta de urmărire<sup>6</sup>.

<sup>6</sup> Tracking time constant

Obținerea algoritmului de implementare numerică a acestui termen de tip integral se poate face prin aplicarea operatorului de derivare în raport cu timpul asupra acțiunii integrale  $I(t)$  definită în relația (55):

$$\frac{dI(t)}{dt} = \frac{K_p}{T_i} \varepsilon(t) + \frac{1}{T_t} \varepsilon_s(t).$$

Aproximarea derivatei printr-un operator cu diferențe aplicat înainte, permite obținerea următoarei relații:

$$\frac{I(t_{k+1}) - I(t_k)}{h} = \frac{K_p}{T_i} \varepsilon(t_k) + \frac{1}{T_t} \varepsilon_s(t_k),$$

unde  $h$  este pasul (constanta) de eșantionare. În final prin rescrierea acestei ultime relații se obține:

$$I(t_{k+1}) = I(t_k) + K_p \frac{h}{T_i} \varepsilon(t_k) + \frac{h}{T_t} \varepsilon_s(t_k), \quad (56)$$

pe baza căreia se poate face implementarea numerică a acțiunii de integrare prezente în regulatorul numeric cu antisaturație.

(Subsubsection head:) Acțiunea derivativă: D



Acțiunea derivativă prezentată în relația (29) nu poate fi implementată, deoarece amplificarea regulatorului crește foarte mult în domeniul frecvențelor înalte, ceea ce determină o amplificare foarte mare a zgomotelor. Acțiunea derivativă se aproximează:

$$sT_d \simeq \frac{sT_d}{1 + s\frac{T_d}{N}}, \quad (57)$$

ceea ce limitează amplificarea semnalelor de frecvență mai ridicată decât  $\frac{N}{T_d}$  la  $N$ . În regulatoarele analogice  $N$  are o valoare fixă, cuprinsă în domeniul  $5 \div 20$ . Pentru evitarea fenomenului de saturație, acțiunea derivativă nu se dorește să apară în raport cu mărimea de prescriere și numai în raport cu mărimea măsurată.

Acțiunea derivativă modificată se poate descrie matematic prin următoarea relație:

$$D(t) + \frac{T_d}{N} \frac{dD(t)}{dt} = -K_p T_d \frac{dy(t)}{dt}, \quad (58)$$

Aproximarea operației de derivare se poate face prin mai multe metode, dintre care cele mai utilizate sunt: aproximarea prin operatorul cu diferențe aplicat înainte sau înapoi și aproximarea Tustin. Toate aceste aproximări conduc la următoarea relație de

implementare numerică a acțiunii derivative din regulator:

$$D(t_k) = \alpha_d D(t_k) - \beta_d (y(t_k) - y(t_{k-1})), \quad (59)$$

care este stabilă numai dacă  $|\alpha_d| < 1$ . În cazul aproximării derivatei în raport cu timpul prin operatorul cu diferențe aplicat înainte, acțiunea derivativă a regulatorului este stabilă numai dacă:

$$T_d > N \frac{h}{2}.$$

Aproximarea Tustin are ca dezavantaj faptul că  $\alpha_d \rightarrow 1$  când  $T_d \rightarrow 0$ . Aproximarea derivatei în raport cu timpul prin operatorul cu diferențe aplicat înapoi, permite obținerea celor mai bune rezultate în raport cu toate valorile constantei de derivare  $T_d$ . Prin această aproximare a operației de derivare rezultă:

$$\alpha_d = \frac{T_d}{T_d + Nh}, \quad \beta_d = K_p \frac{NT_d}{T_d + Nh}. \quad (60)$$

### (Subsubsection head:) Algoritmul PID

Algoritmul *PID* presupune implementarea următoarelor relații pe un sistem de cal-

cul:

$$\begin{aligned}
 P(t_k) &= K_p (\beta_p y_{sp}(t_k) - y(t_k)) , \\
 D(t_k) &= \alpha_d D(t_k) - \beta_d (y(t_k) - y(t_{k-1})) , \\
 v(t_k) &= P(t_k) + I(t_k) + D(t_k) , \\
 u(t_k) &= \sigma(v(t_k)) , \\
 I(t_{k+1}) &= I(t_k) + \beta_i (y_{sp}(t_k) - y(t_{k-1})) + \beta_t (u(t_k) - v(t_k)) .
 \end{aligned} \tag{61}$$

Acest algoritm este cu antisaturație și are „reset” în cazul apariției fenomenului de saturație a comenzii, limitează amplificarea acțiunii derivate la „ $N$ ” și ponderează mărimea de prescriere cu „ $\beta_p$ ”. Funcția care descrie elementul de saturație (neliniaritatea din sistem) are următoarea exprimare:

$$\sigma(v(t_k)) = \begin{cases} u_M, & v(t_k) > u_M \\ v(t_k), & u_m \leq v(t_k) \leq u_M , \\ u_m, & v(t_k) < u_m \end{cases} \tag{62}$$

în cazul unui element liniar cu saturație la  $u_m$  și  $u_M$ . Parametrii  $\alpha_d$ ,  $\beta_d$ ,  $\beta_i$  și  $\beta_t$  sunt

obținuți din parametrii primari  $K_p$ ,  $T_i$ ,  $T_d$ ,  $T_t$  și  $N$  ai regulatorului  $PID$ , astfel:

$$\begin{aligned}\alpha_d &= \frac{T_d}{T_d + Nh}, & \beta_d &= K_p \frac{NT_d}{T_d + Nh}, \\ \beta_i &= K_p \frac{h}{T_i}, & \beta_t &= \frac{h}{T_t}.\end{aligned}\quad (63)$$

### (Subsubsection head:) Algoritmul **PI**

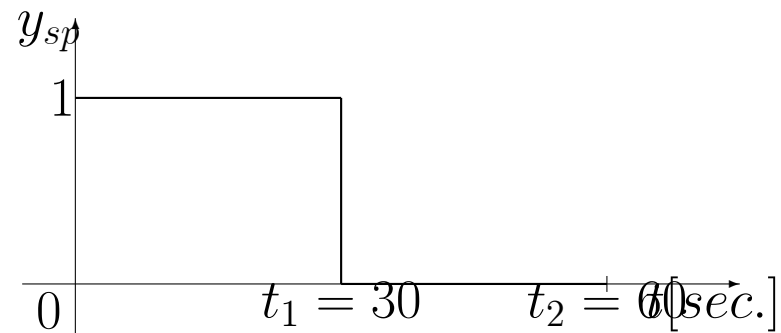
În multe cazuri practice nu este necesară acțiunea derivativă. În acest caz algoritmul este de tip  $PI$  și presupune implementarea următoarelor relații pe un sistem de calcul:

$$\begin{aligned}P(t_k) &= K_p (\beta_p y_{sp}(t_k) - y(t_k)), \\ v(t_k) &= P(t_k) + I(t_k), \\ u(t_k) &= \sigma(v(t_k)), \\ I(t_{k+1}) &= I(t_k) + \beta_i (y_{sp}(t_k) - y(t_{k-1})) + \beta_t (u(t_k) - v(t_k)).\end{aligned}\quad (64)$$

Acest algoritm este de tip  $PI$  cu antisaturație și care prezintă „reset” în cazul apariției fenomenului de saturație a comenzii și ponderează mărimea de prescriere cu „ $\beta_p$ ”. Funcția care descrie elementul de saturație este prezentată în relația (62). Parametrii  $\beta_i$  și  $\beta_t$  sunt obținuți din parametrii primari  $K_p$ ,  $T_i$  și  $T_t$  ai regulatorului  $PI$ , astfel:

$$\beta_i = K_p \frac{h}{T_i}, \quad \beta_t = \frac{h}{T_t}.\quad (65)$$

*Example 10 Se consideră sistemul din exemplul  $(PID_{\gamma_k})$  cu parametrii regulatorului  $PID$  calculați prin impunerea marginii de fază  $\gamma_k$ . Se cere să se determine răspunsul sistemului în buclă închisă la semnalul de referință  $(y_{sp})$  prezentat în figura (18) în următoarele cazuri: (a) regulator  $PID$  continuu; (b) regulator  $PID$  discret cu saturație; (c) regulator  $PID$  discret cu antisaturație.*



18. Mărimea de referință a sistemului cu reacție negativă

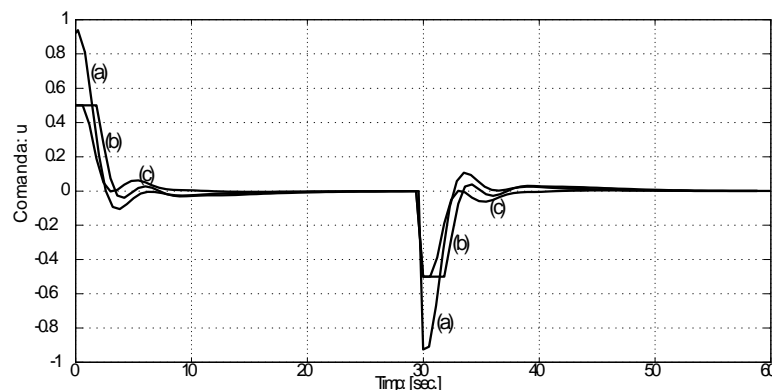
Parametrii de acord ai regulatorului  $PID$  sunt:

$$K_p = 0.9238,$$

$$T_i = 7.9334,$$

$$T_d = 1.3222.$$

Structura utilizabilă practic a regulatorului  $PID$  continuu este cea care prezintă o comportare  $PI$  în raport cu mărimea de referință  $y_{sp}$  și o comportare  $PID$  în raport cu mărimea măsurată  $y$ . Acțiunea derivativă se consideră cea prezentată în relația (57), cu  $N = 8$ . Rezultatele simulării se prezintă în figurile 19 (a) și 20 (a), unde se arată evoluția în timp a mărimii de comandă din sistemul cu reacție negativă  $u$ , respectiv ieșirea (măsurată)  $y$ . Regulatorul  $PID$  discret a fost implementat pe baza relațiilor (61) utilizând un pas de eșantionare  $h = 0.1$  [sec.]. În cazul regulatorului cu saturație nu a fost luată în considerare reacția internă a regulatorului, respectiv  $\beta_t = 0$ . În cazul regulatorului cu antisaturație a fost considerată constanta de urmărire  $T_t = 0.5$  [sec.], respectiv  $\beta_t = 0.2$  [sec.]. Rezultatele simulării se prezintă în figurile 19 și 20, unde se arată evoluția în timp a mărimii de comandă din sistemul cu reacție negativă  $u$ , respectiv ieșirea (măsurată)  $y$  în cele două cazuri (b) regulatorul discret cu saturație și (c) regulatorul discret cu antisaturație.  $\triangleleft$

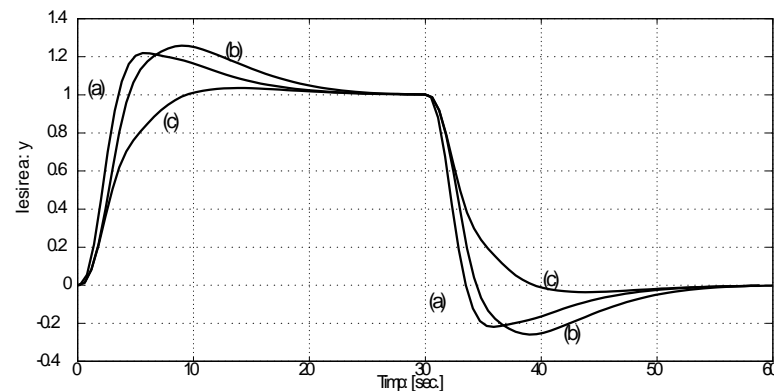


19. Evoluția mărimii de comandă în următoarele cazuri: (a) regulator  $PID$  continuu; (b) regulator  $PID$  discret cu saturație; (c) regulator  $PID$  discret cu antisaturație

## 4 Concluzii

În acest capitol a fost prezentată *metoda bazată pe funcția de descriere* pentru analiza aproximativă a sistemelor neliniare care are o largă utilitate practică. Metoda bazată pe funcția de descriere constă în înlocuirea elementului neliniar dintr-un sistem cu o aproximație liniară care să poată fi utilizată în analiza și/sau sinteza sistemului în ansamblu (care se efectuează în domeniul frecvențial). Utilitatea acestei metode este în stabilirea existenței și stabilității ciclurilor limită și în evitarea fenomenelor de rezonanță.

Ca și aplicație practică a metodei bazate pe funcția de descriere a fost prezentat regu-



20. Evoluția mărimii de ieșire (măsurate) în următoarele cazuri: (a) regulator  $PID$  continuu; (b) regulator  $PID$  discret cu saturație; (c) regulator  $PID$  discret cu antisaturație latorul  $PID$  autoacordabil. De asemenea a fost studiat fenomenul de saturație prezent în practică în cazul reguletoarelor de tip  $PID$ , precum și modalități de evitare și înlăturare cât mai rapidă a acestei neliniarități de tip accidental.